

素粒子特論

2016年度前期

河野能知

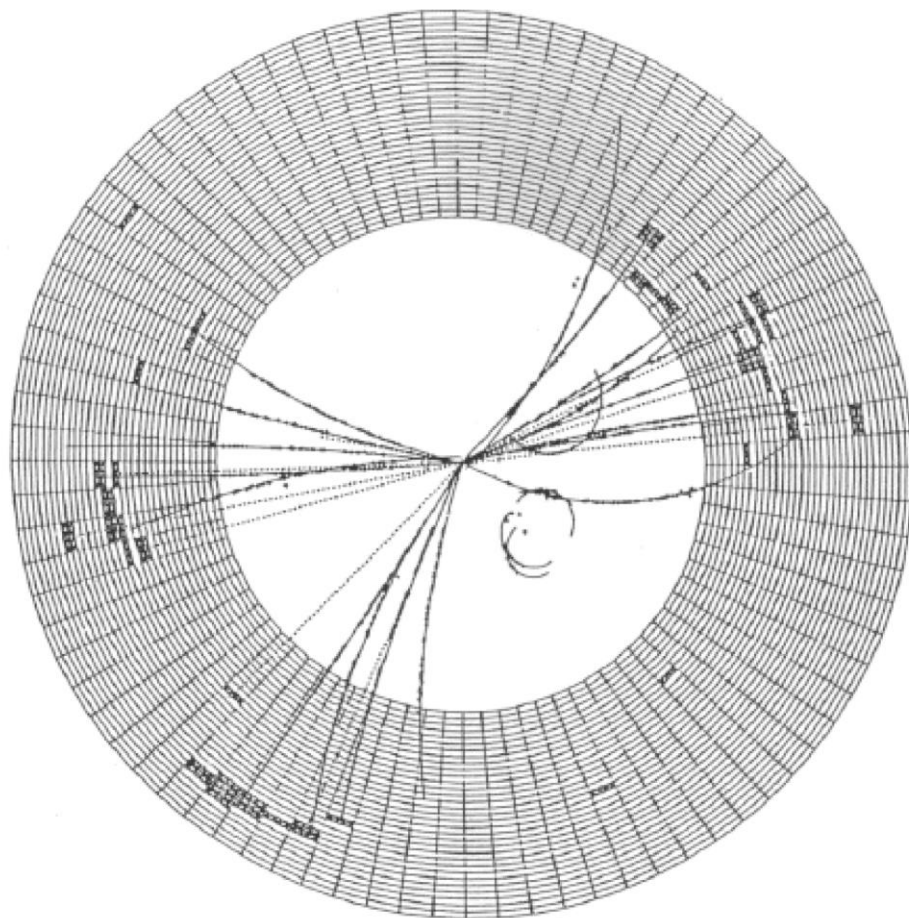
kono.takanori@ocha.ac.jp

理学部1号館208室

内容

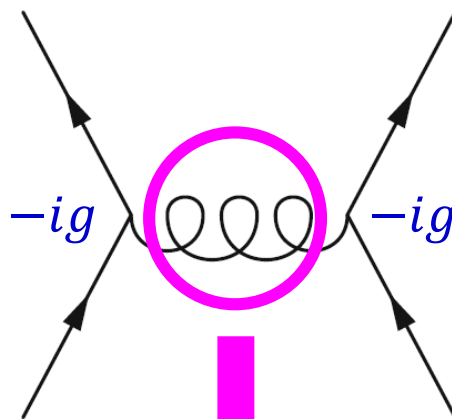
- 量子色力学(QCD)
 - 結合定数のエネルギー依存性
 - ハドロン質量とQCDポテンシャル
- ハドロン化のモデル
 - Cluster fragmentation, Lund string model
- Jet algorithm
 - Cone algorithm
 - JADE algorithm, (anti-) k_T algorithm

クォーク・グルーオン生成とジェット



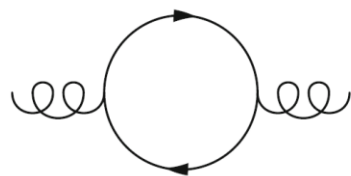
*** SUHS (GEV) *** PTOT 35.758 PTRANS 29.954 PLONG 15.788 CHARGE -2
TOTAL CLUSTER ENERGY 15.169 PHOTON ENERGY 4.893 NR OF PHOTONS 11

QCDの高次項の寄与

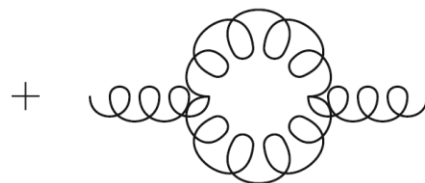


高次の項による補正

非可換ゲージ理論でのみ現れる
グルーオンの3点、4点相互作用



クォーク対



グルーオン



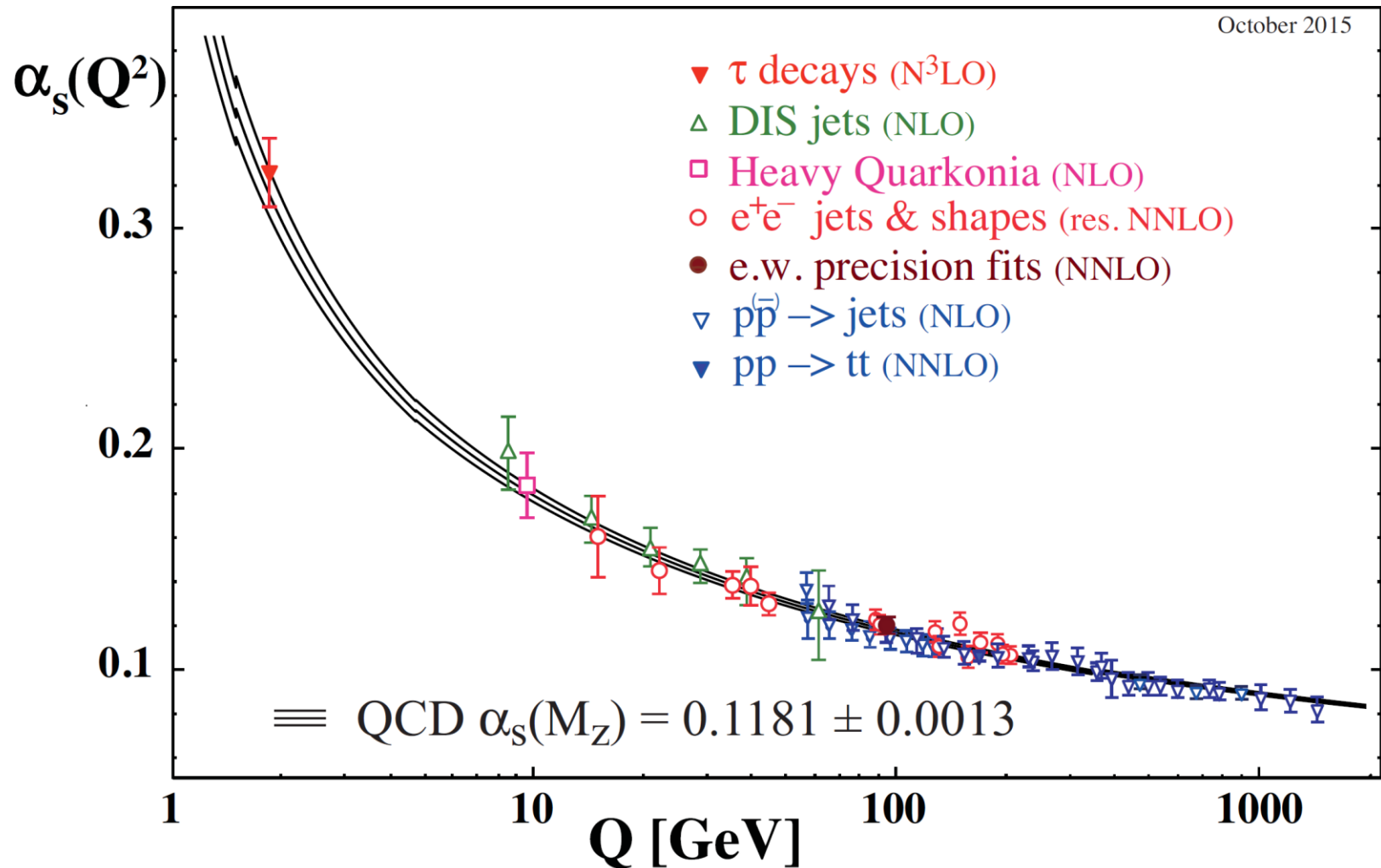
ゴースト
(ゲージ固定)

真空偏極

- 真空偏極ダイアグラムを計算すると発散する

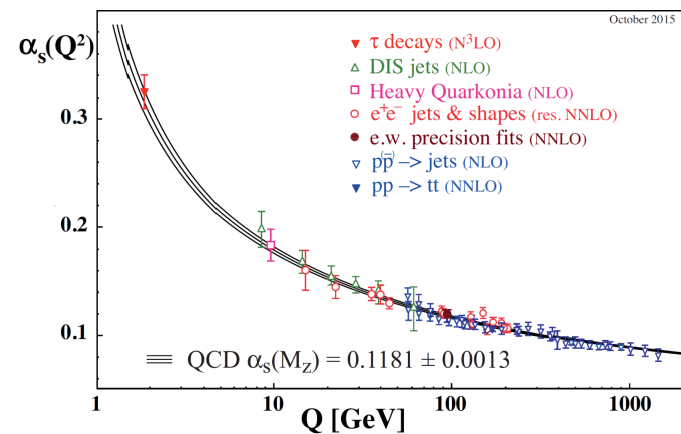
$$\alpha_s(Q^2) = \frac{\alpha_s(\mu^2)}{1 + \beta_0 \alpha_s(\mu^2) \ln(Q^2/\mu^2)}$$

結合定数とエネルギー・スケール



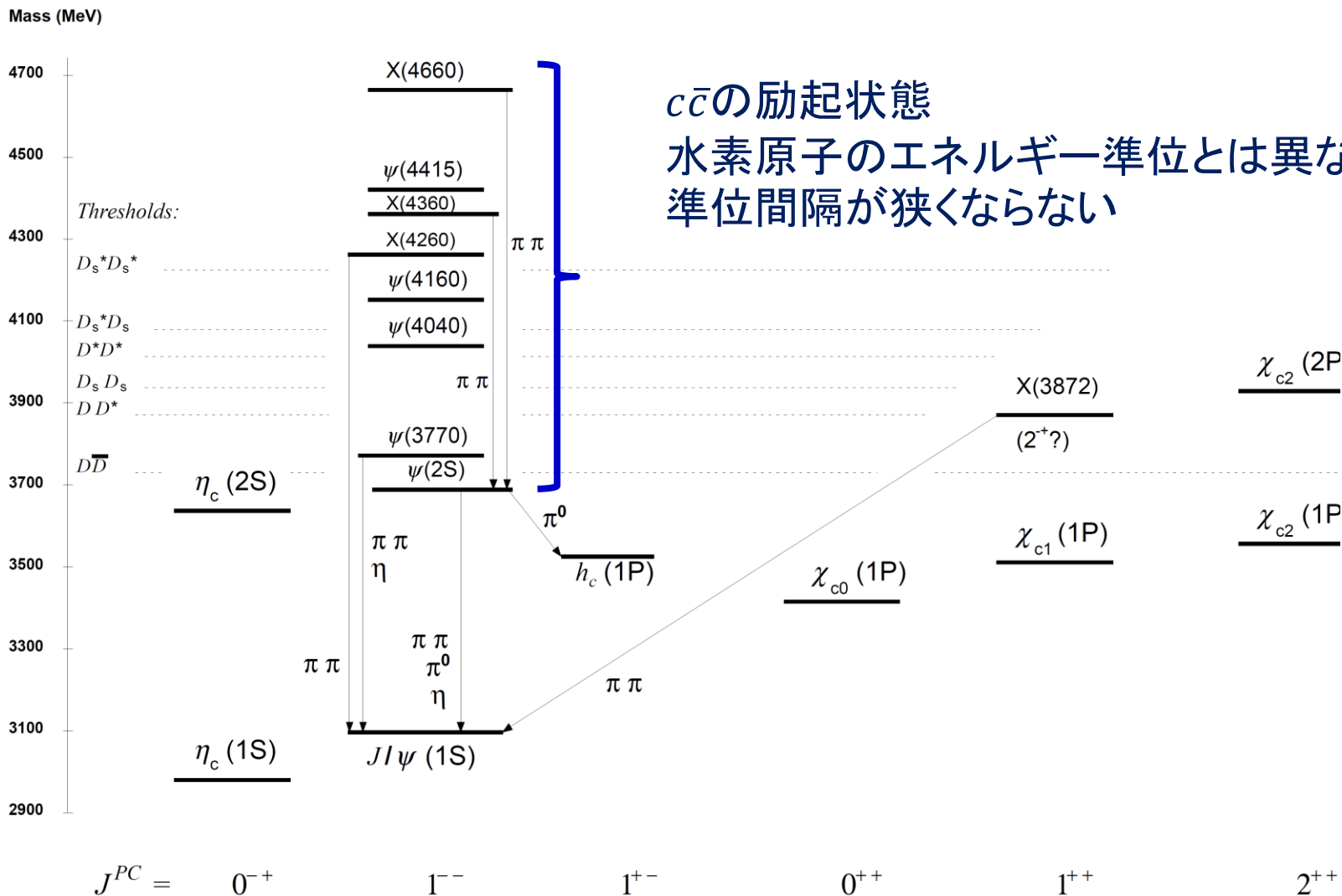
結合定数とエネルギー・スケール

- エネルギー・スケールが十分大きいところ ($Q \gg \Lambda_{\text{QCD}}$) では結合定数は小さい ($\alpha_S \ll 1$)
 - エネルギーの高い散乱問題には摂動論が使える
- 逆に、スケールが小さい ($Q < 1 \text{ GeV}$) では結合定数は1を超えて大きくなる
 - $Q = \Lambda_{\text{QCD}}$ で発散する
 - このような領域では、摂動論は信頼性がない。特に、ハドロンのようなQCDの束縛状態を扱うためには非摂動的な手法が必要になる



c \bar{c} 束縛状態の質量

質量 (MeV)



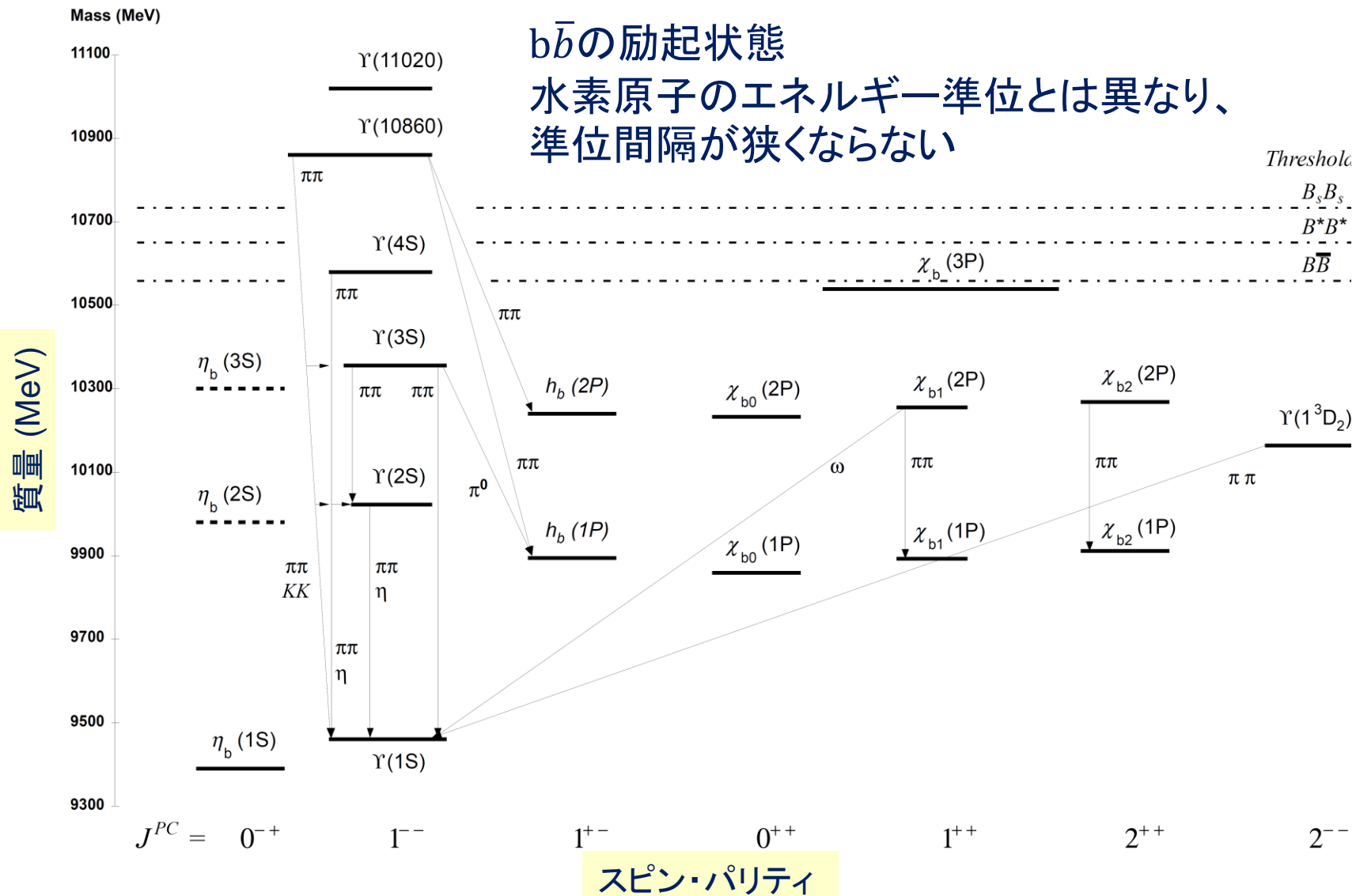
c \bar{c} の励起状態
 水素原子のエネルギー準位とは異なり、
 準位間隔が狭くならない

スピン・パリティ

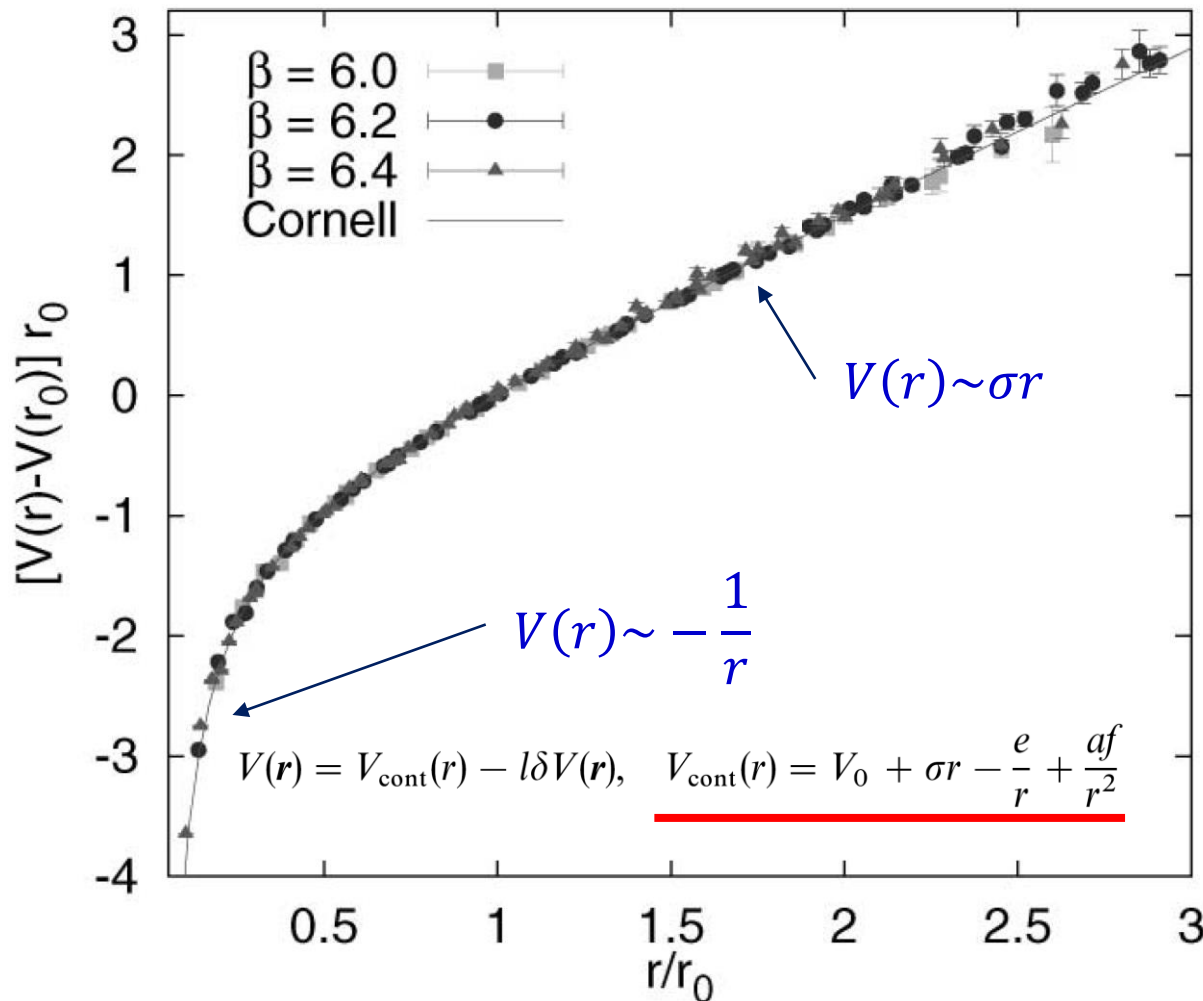
$b\bar{b}$ 束縛状態の質量

$b\bar{b}$ の励起状態

水素原子のエネルギー準位とは異なり、
準位間隔が狭くならない

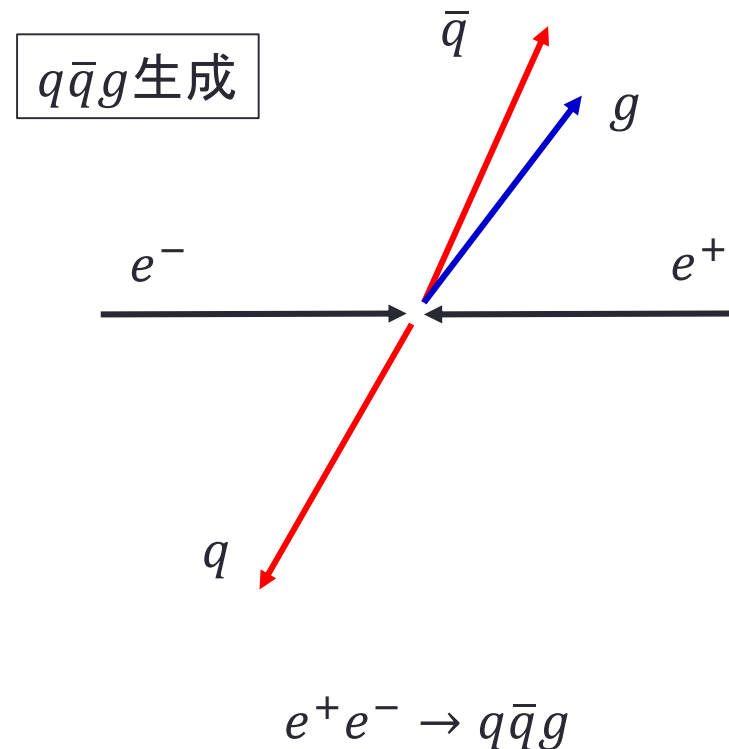
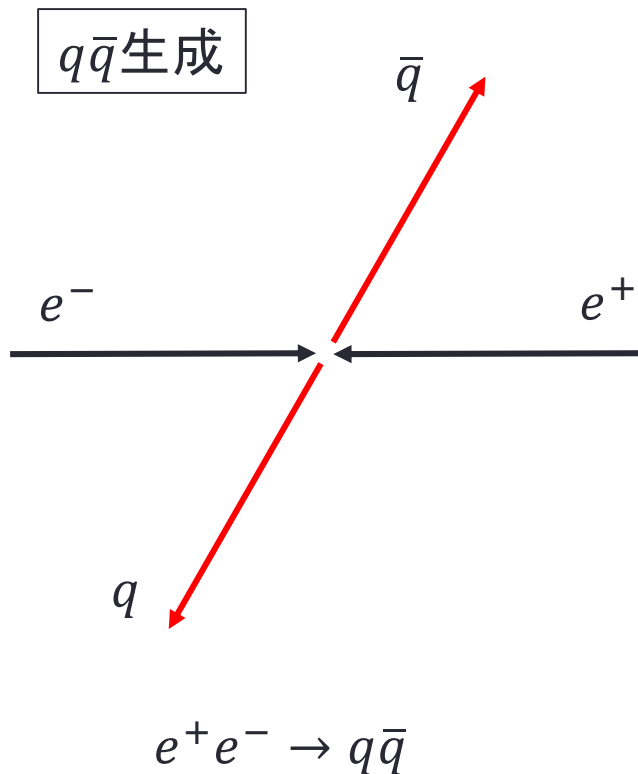


QCDポテンシャル



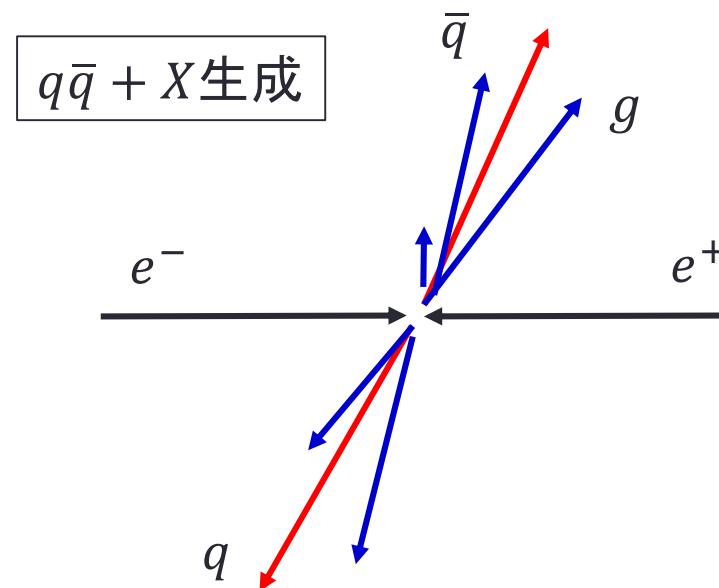
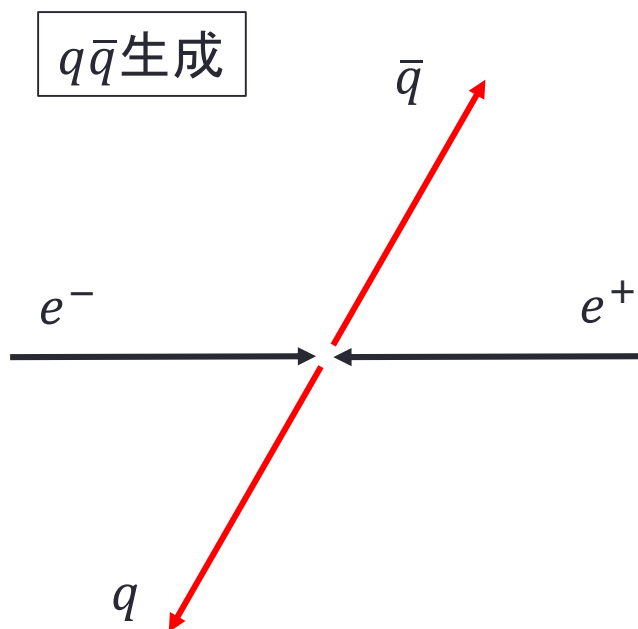
- SU(3)格子ゲージ計算 (quenched)によるクォーク間のポテンシャル
- 短距離では、QEDと同様に
 - $V(r) \sim -\frac{1}{r}$
- 長距離では、
 - $V(r) \sim \sigma r$
 - σ はstring tension のようなもの
- クォークを引き離すのに無限にエネルギーが必要となる

QCDの摂動計算



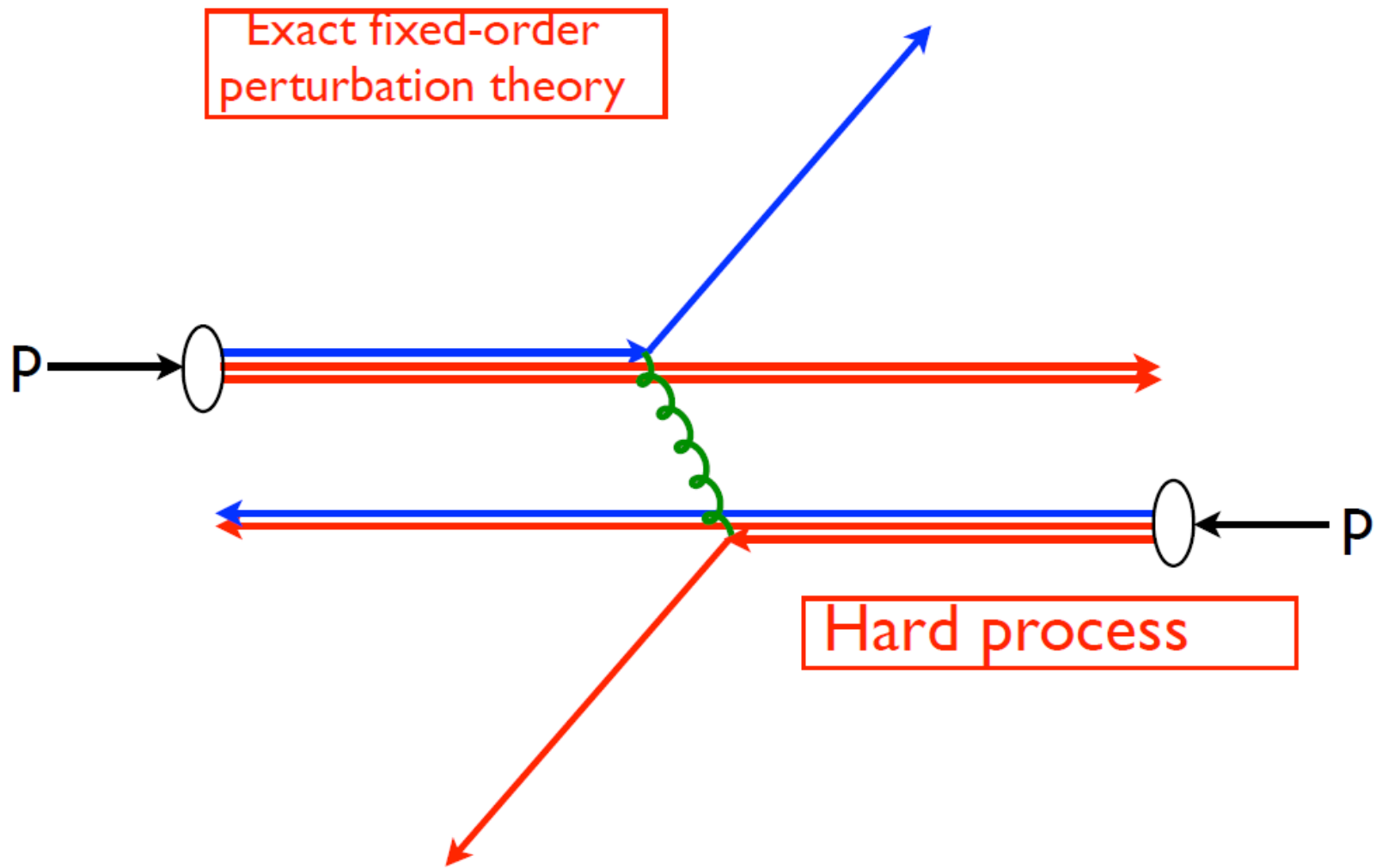
- 遷移振幅を計算する上では別々の過程だが、クォークやグルーオンがハドロン化した後では、実験的に区別がつかない
- 測定と比較するためには両方を考える必要がある

さらに高次の項

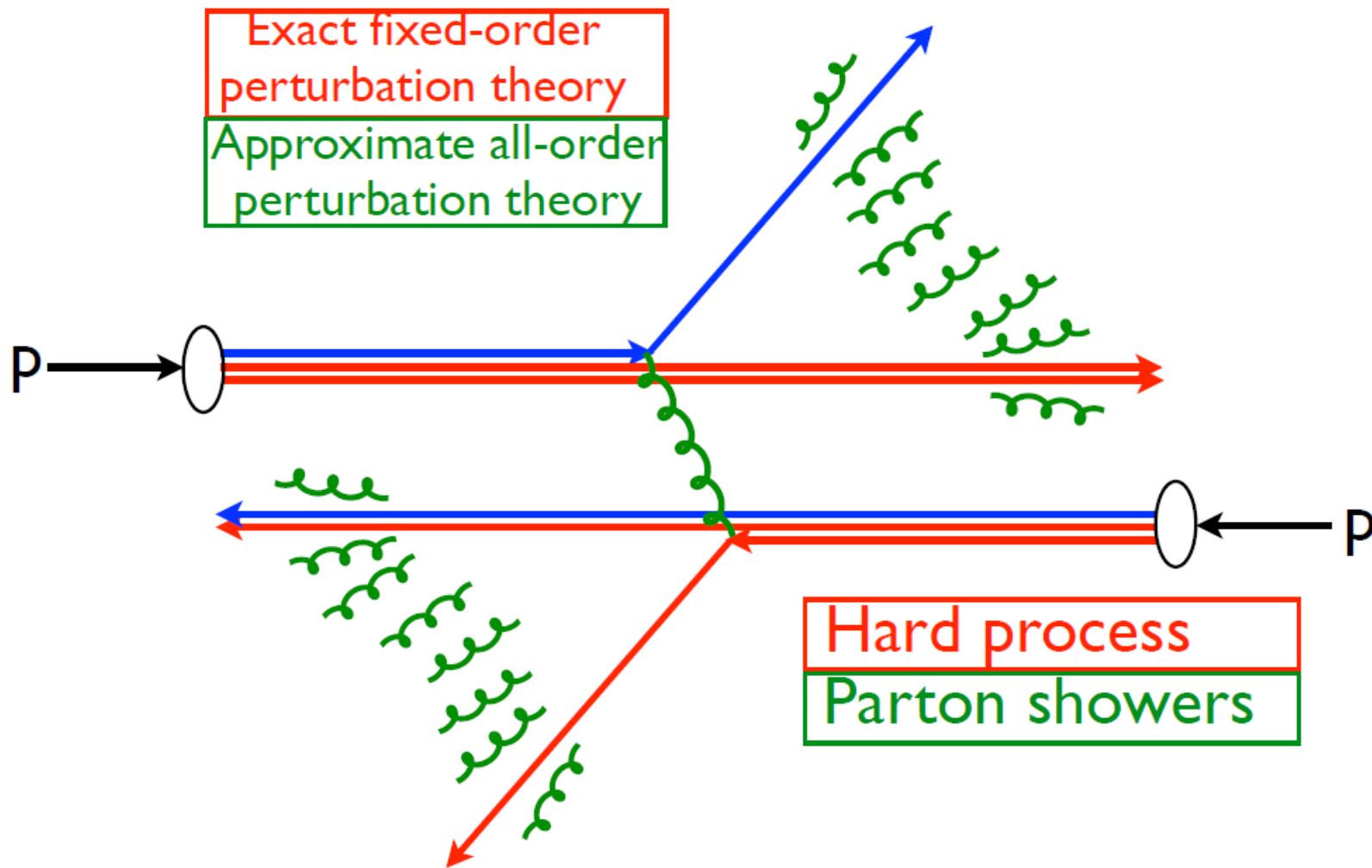


- $q\bar{q}$ に近いところにクォークやグルーオンが出てくる反応は全て考慮する必要がある

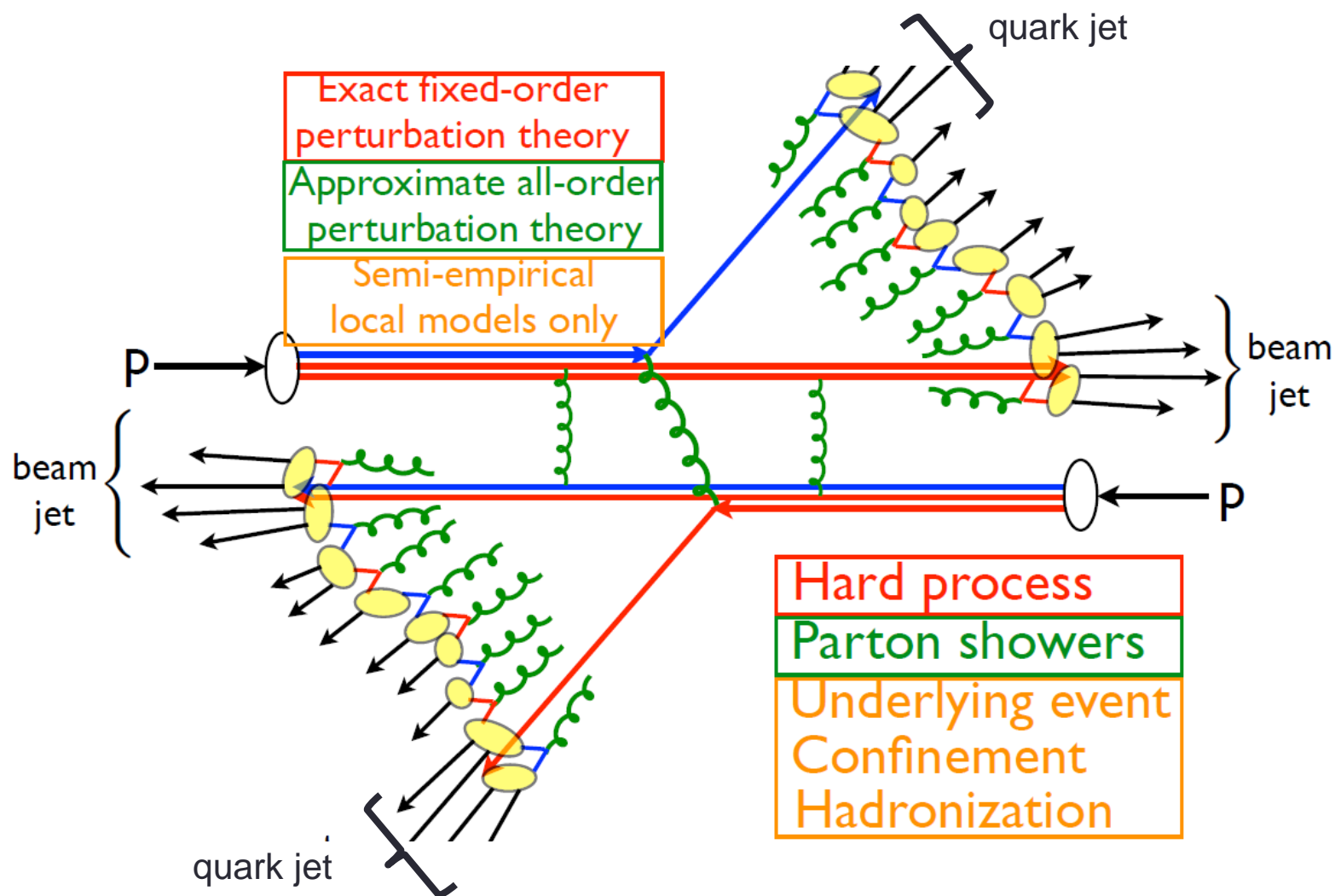
高エネルギー粒子衝突事象の記述



高エネルギー粒子衝突事象の記述



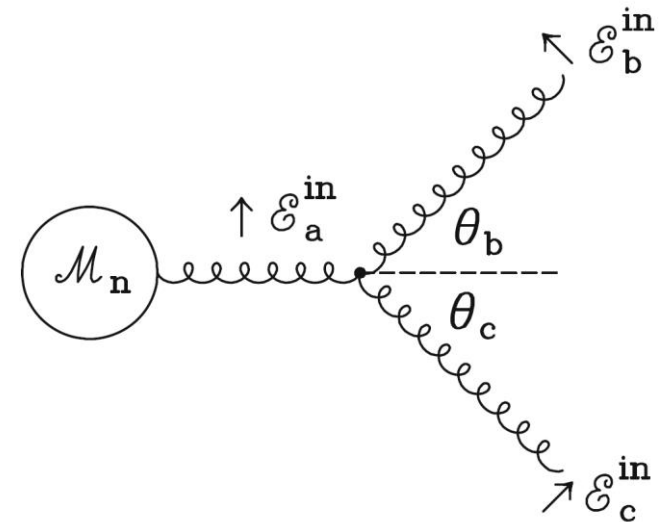
高エネルギー粒子衝突事象の記述



パートンの分岐

$$d\sigma_{N+1} = d\sigma_N \sum_{\text{parton } i} \frac{\alpha_S}{2\pi} P_{ji}(z) \frac{d\theta^2}{\theta^2} dz d\phi$$

2→n粒子過程の断面積から近似的に
2→n+1粒子過程の断面積を導出する



$$\begin{aligned} d\Phi_{n+1} &= \cdots \frac{d^3 \vec{p}_b}{2(2\pi)^3 |E_b|} \frac{d^3 \vec{p}_c}{2(2\pi)^3 |E_c|} \\ &= \cdots \frac{d^3 \vec{p}_a}{2(2\pi)^3 |E_a|} \frac{d^3 \vec{p}_c}{2(2\pi)^3 |E_c|} \frac{|E_a|}{|E_b|} \quad \text{at fixed } p_a \\ &= d\Phi_n \frac{dp_{c,3} dp_T p_T d\phi}{2(2\pi)^3 |E_c|} \frac{1}{z} \\ &= d\Phi_n \frac{dp_{c,3} dp_T^2 d\phi}{4(2\pi)^3 |E_c|} \frac{1}{z} \quad \text{位相空間の関係} \end{aligned}$$

Splitting function

$$d\sigma_{N+1} = d\sigma_N \sum_{\text{parton } i} \frac{\alpha_S}{2\pi} P_{ji}(z) \frac{d\theta^2}{\theta^2} dz d\phi$$

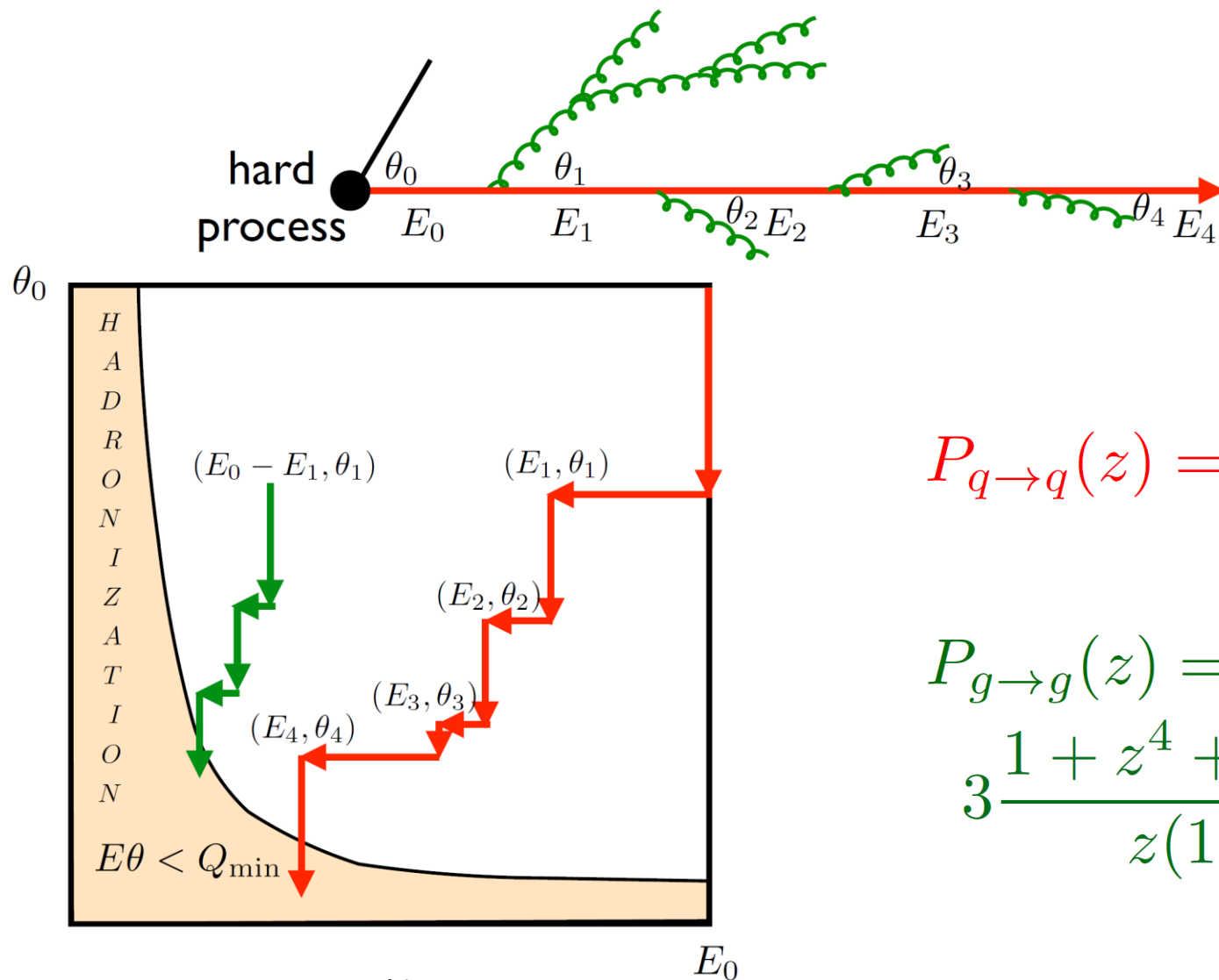
- $z \rightarrow 0$ または $\theta \rightarrow 0$ で発散
- P_{ji} (Splitting function): パートン i の線からパートン j が出てくる時の分布

$$P_{qq}(z) = C_F \frac{1+z^2}{1-z}, \quad P_{gq}(z) = C_F \frac{1+(1-z)^2}{z},$$

$$P_{gg}(z) = C_A \frac{z^4 + 1 + (1-z)^4}{z(1-z)}, \quad P_{qg}(z) = T_R(z^2 + (1-z)^2),$$

多粒子状態をシミュレートして分布を再現。ただし断面積はLOのままである。

Parton shower



$$P_{q \rightarrow q}(z) = \frac{4}{3} \frac{1+z^2}{1-z}$$

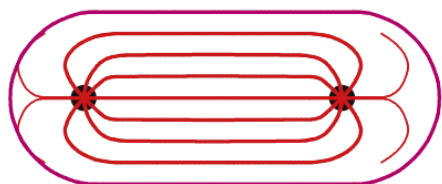
$$P_{g \rightarrow g}(z) = \frac{1+z^4 + (1-z)^4}{3z(1-z)}$$

ハドロン化のモデル

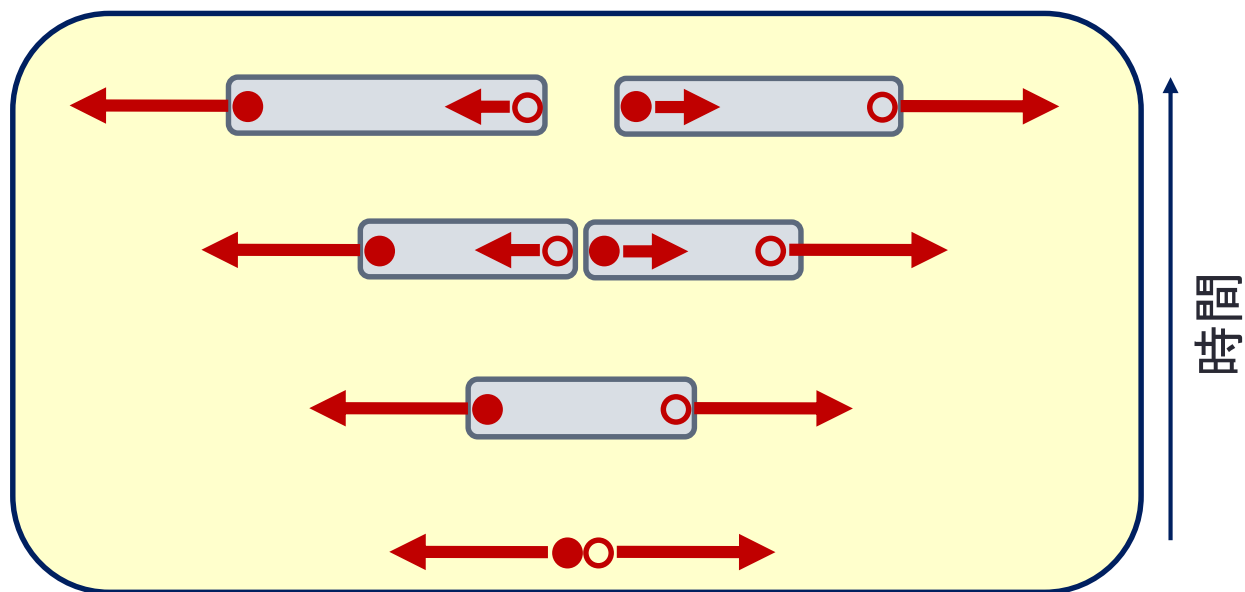
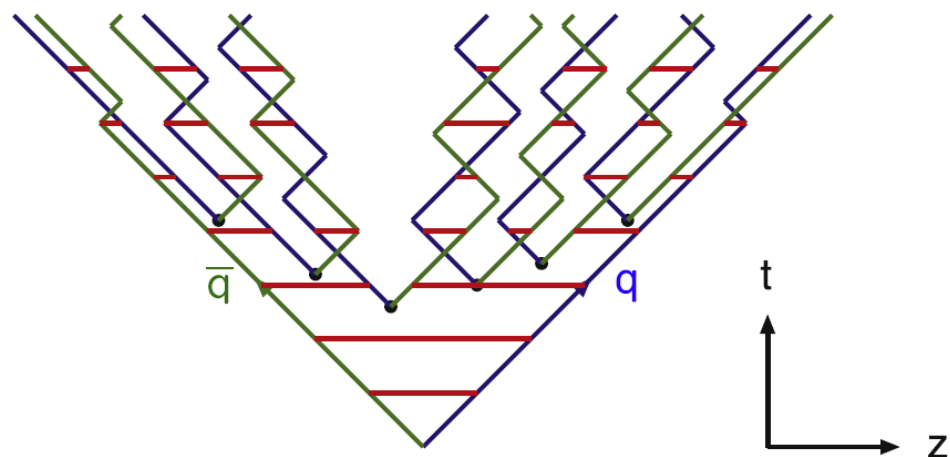
- String fragmentation model
 - QCDポテンシャルが長距離で $V(r) \sim kr$ のように、振る舞うことを前提としたモデル ($\kappa \sim 1 \text{ GeV/fm}$)
 - ある確率にしたがって、ポテンシャル中で $q\bar{q}$ が生成するものとする
 - 確率 $\sim e^{-\frac{(m_{q\bar{q}}^2 + p_T^2)}{\kappa}}$
 - $u:d:s:c = 1:1:0.3:10^{-11}$
 - ハドロン化の過程でチャーム生成は非常に抑制される
- Cluster model
 - パarton・シャワーによって多粒子生成する
 - 摂動論とcollinear approximationを基にしたモデル
 - シャワーの後で、中性のclusterを形成して中間子対に崩壊させる

String fragmentation model

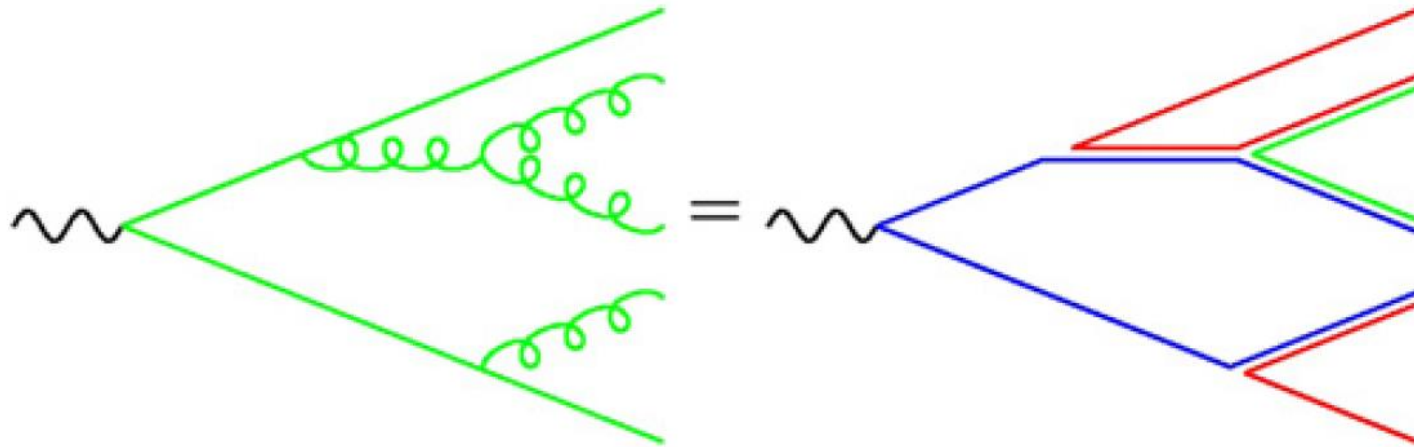
a



b



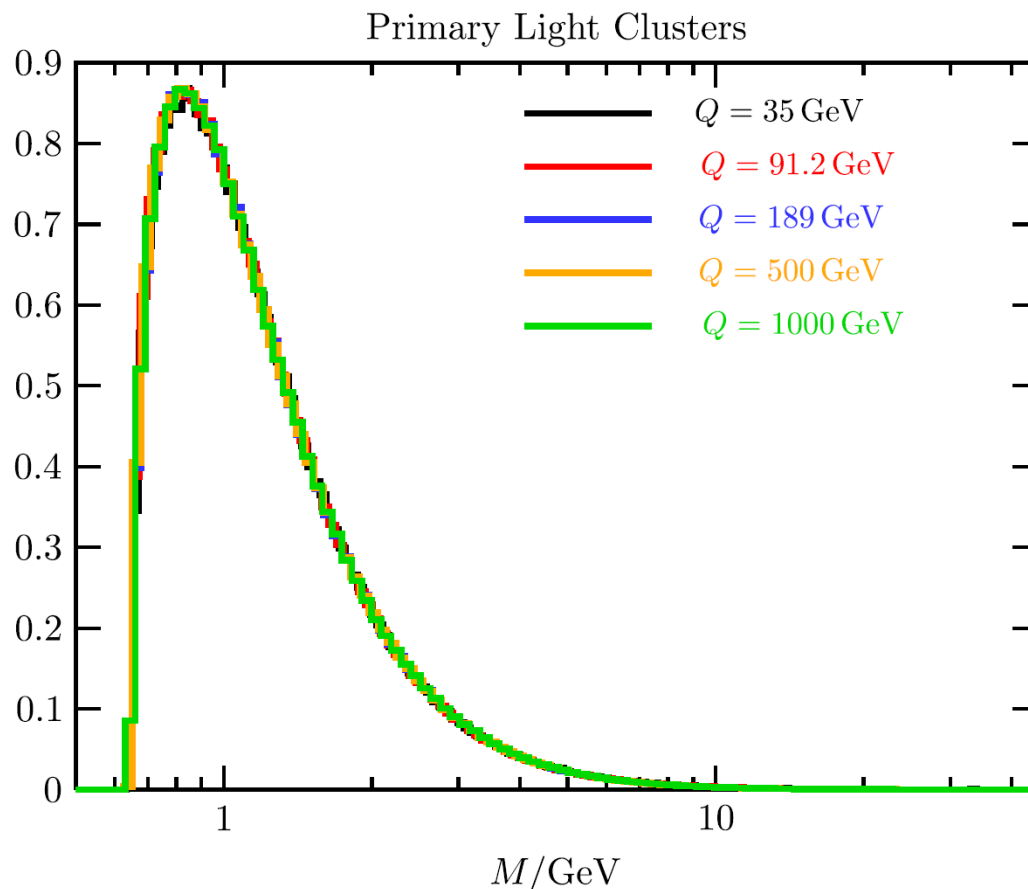
Cluster model



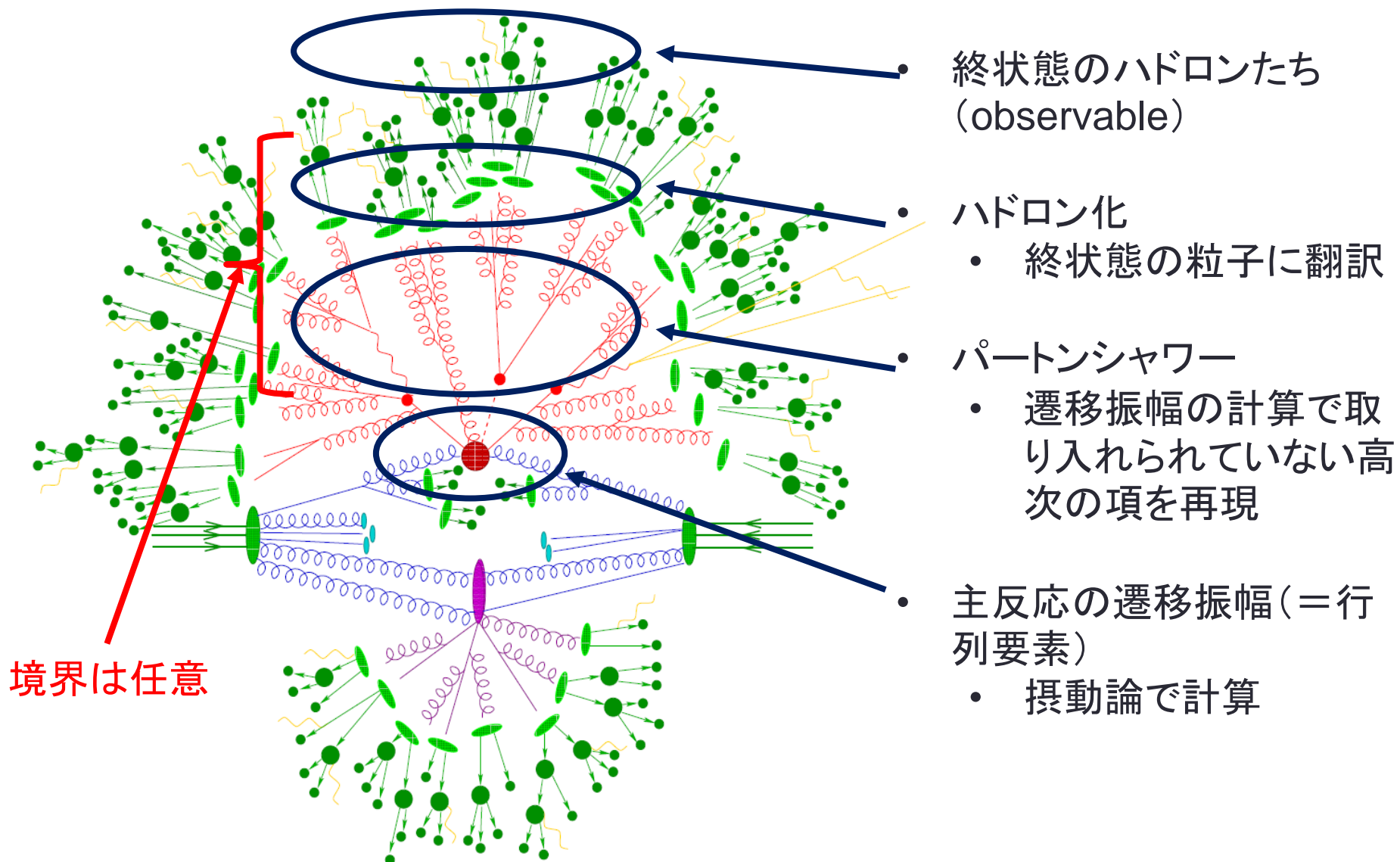
- Parton showerをスケールが $Q_0 \sim 1$ GeVになるまで繰り返す
- すると、各パートンの近くには、カラー中性になる相手が必ずみつかる
 - グルーオンは、カラー・反カラーの組み合わせと考える
 - 多数の中性のPre-clusterを形成する
- Pre-clusterを中間子対に崩壊させる

Pre-clusterの不変質量分布

- Cluster modelでPre-clusterを形成した時の不変質量分布
- パートを分岐させる前の元のエネルギー・スケールによらない



Fragmentation modelの比較



行列要素とParton showerの境目

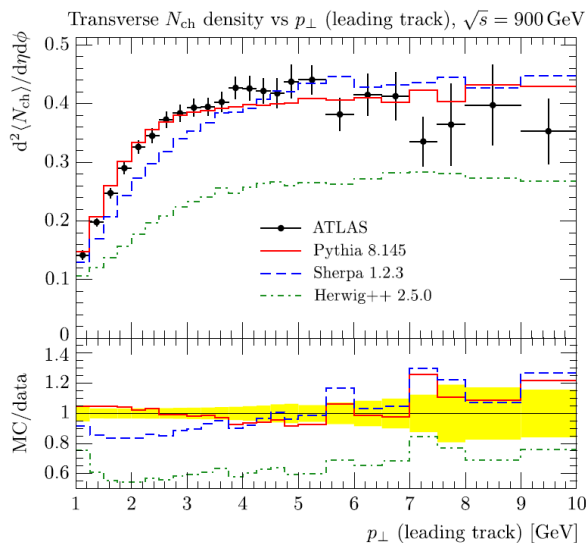
- 行列要素の段階で多粒子生成の断面積を計算することも可能である
 - $M(2 \rightarrow 2) + M(2 \rightarrow 3) + M(2 \rightarrow 4)$
- Parton showerの適用
 - $2 \rightarrow 2$ 過程にshowerを生成すると、 $2 \rightarrow 3$, $2 \rightarrow 4$, ... 事象が生成される
 - 行列要素で生成した高次の過程と重複しないようにする必要がある
 - Matrix Element (ME)とParton shower (PS)の整合性が求められる
 - ME+PS matching
 - Parton showerはsoft emission ($z \ll 1$), collinear emission ($\theta \ll 1$)でよい近似である一方、MEは追加の粒子がhardな場合に役に立つ
 - 角度の近いところはPS、大きいところはMEでカバーする
 - CKKW matching, MLM matching
 - MC@NLO, Powhegに実装されている

ハドロン化モデルの検証

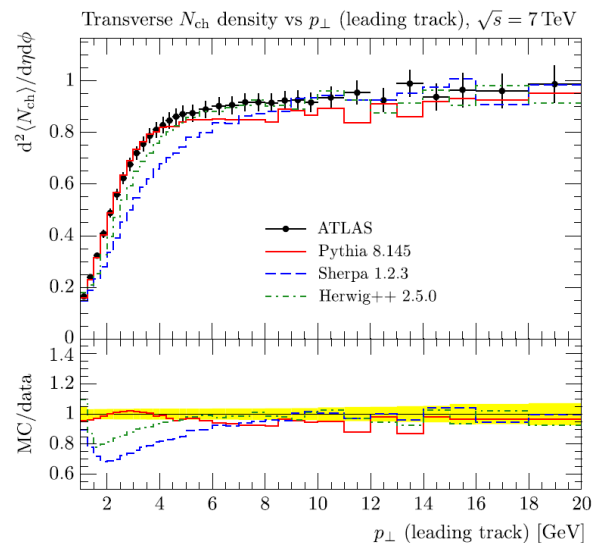
- 実験
 - 観測されるのは、終状態のハドロンである
 - 理論
 - QCD, QEDのLagrangianと場の量子論の枠組み
 - パarton・シャワーによる高次効果の再現
 - ハドロン化によって実験結果と直接比較可能にする
- 理論
- モデル
- 研究対象
 - 主には、Lagrangianの部分
 - (partonシャワーやハドロン化自体を調べることもある)
 - しかし、そのためにはparton・シャワーやハドロン化のモデルが妥当なものである必要がある
 - これらのモデルには第一原理には求まらないパラメータが多数存在する。これらのパラメータは実験を再現するように最適化する

Track multiplicity

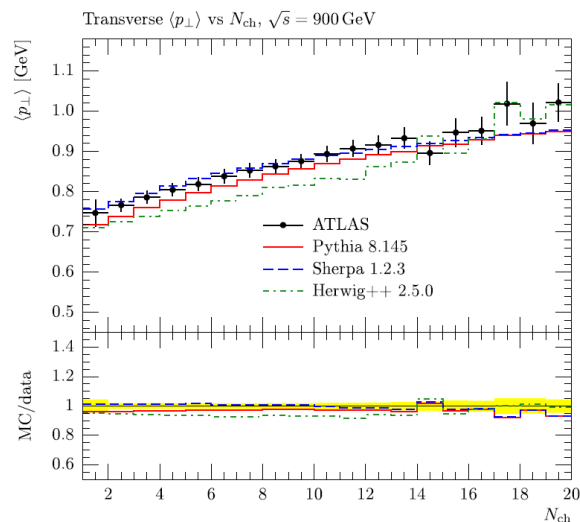
Physics Reports 504(2011) 145-233



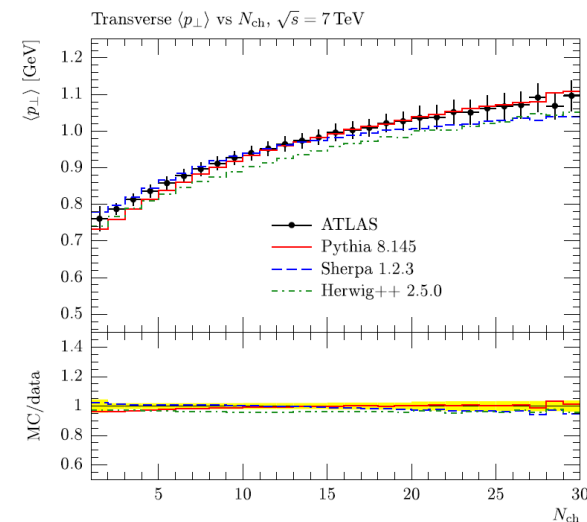
(a) Transverse N_{ch} at 900 GeV.



(b) Transverse N_{ch} at 7 TeV.

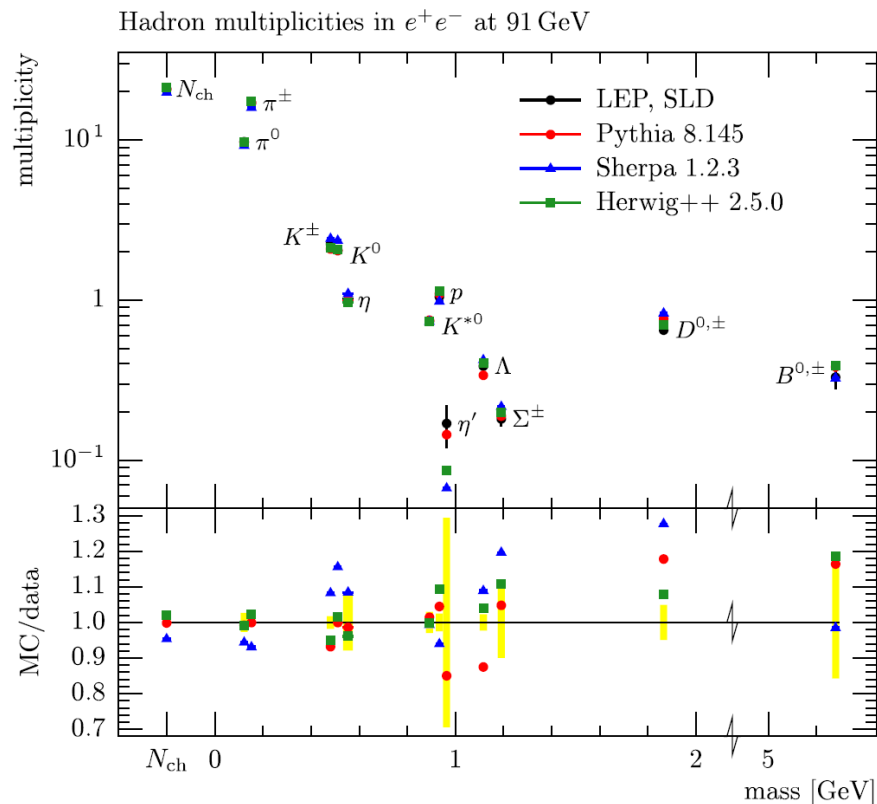


(a) Transverse $\langle p_{\perp} \rangle$ vs. N_{ch} at 900 GeV.

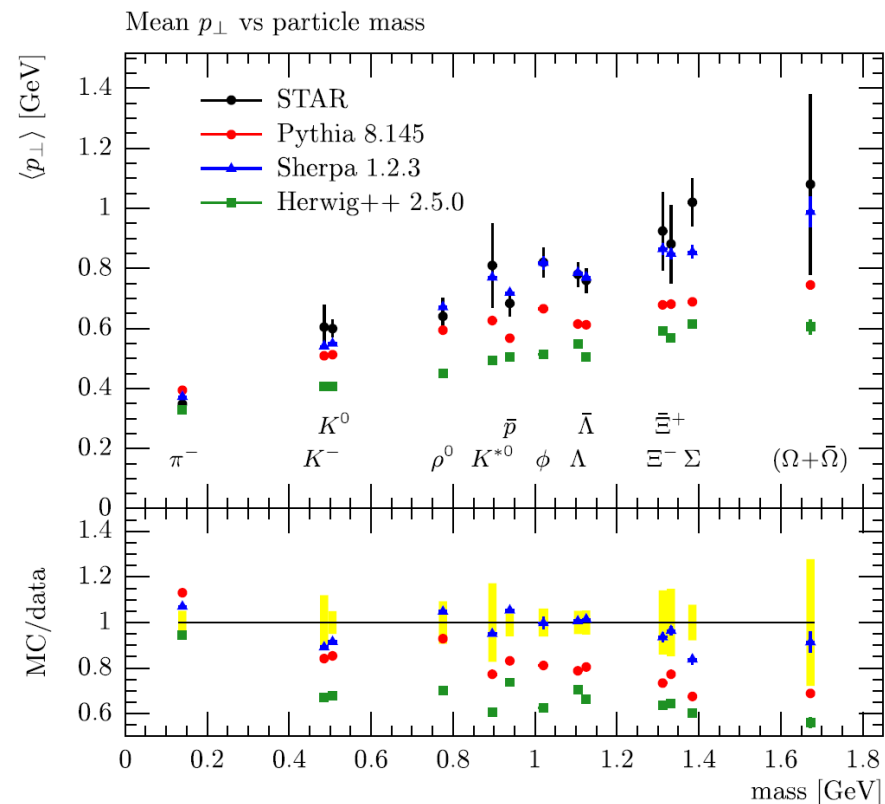


(b) Transverse $\langle p_{\perp} \rangle$ vs. N_{ch} at 7 TeV.

Identified particles

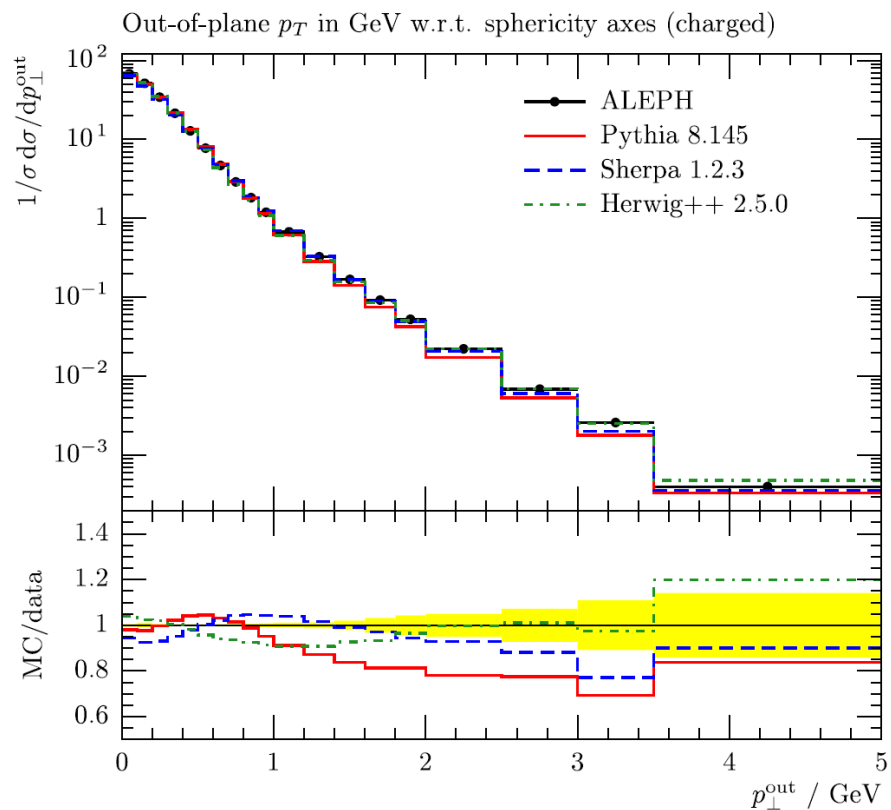


(a) LEP/SLD identified particle multiplicities [157].

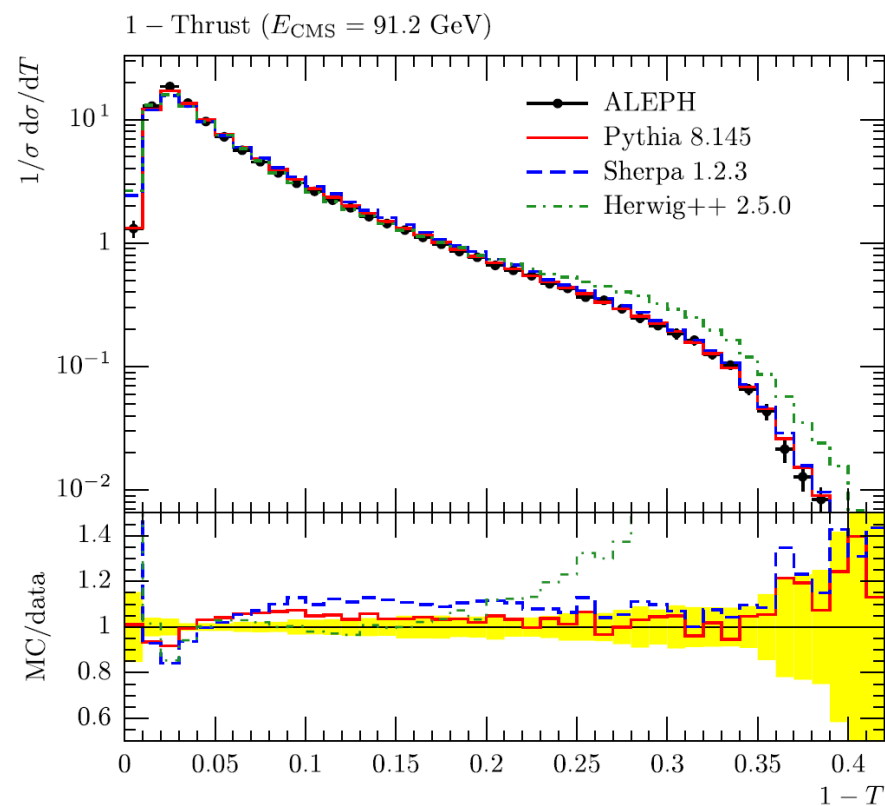


(b) STAR identified particle mean p_\perp [354].

Event shape variables

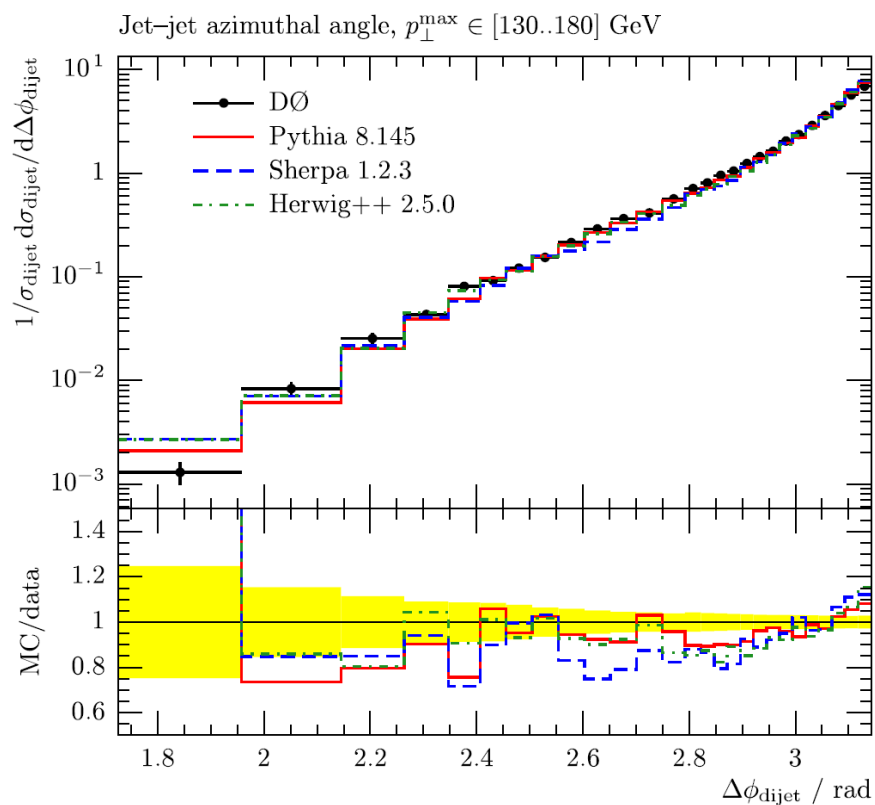


(a) Summed out-of-event-plane p_{\perp} [350].

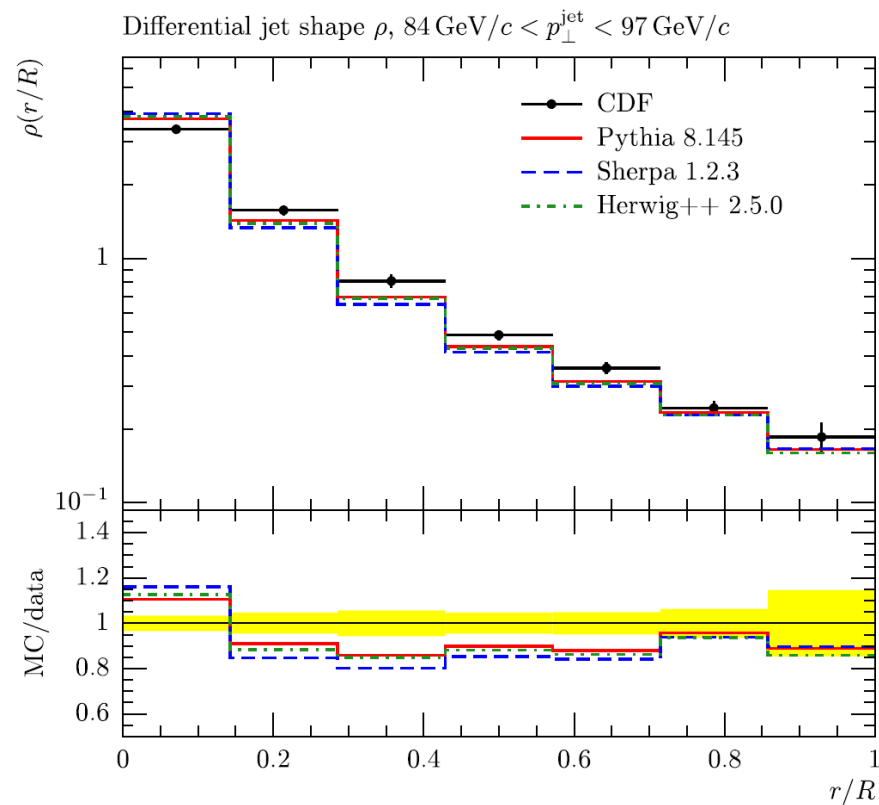


(b) $1 - \text{Thrust}$ [351].

Jet shape, correlation

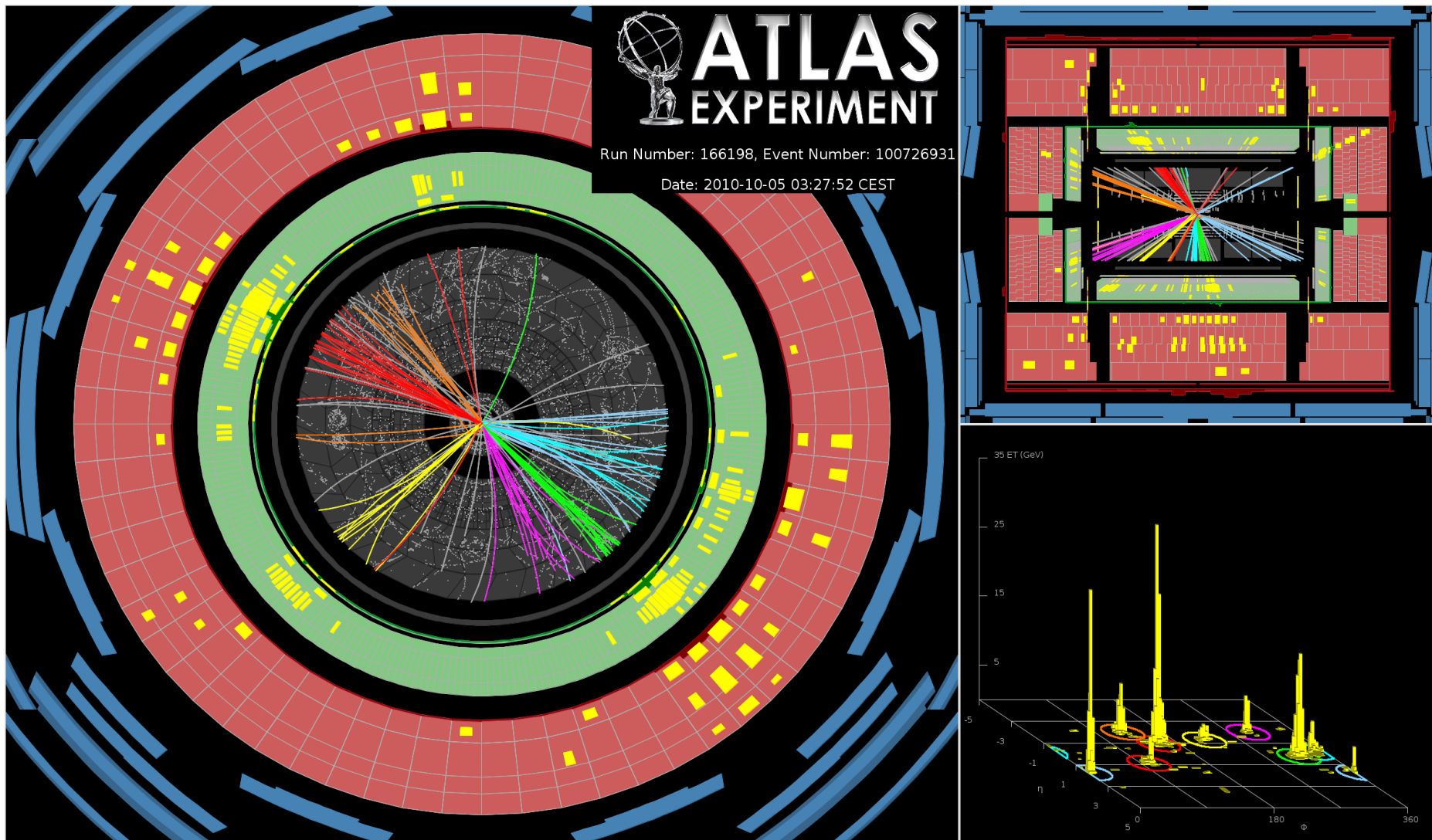


(a) DØ dijet azimuthal decorrelation [352].



(b) Hadron collider jet shapes: CDF [353].

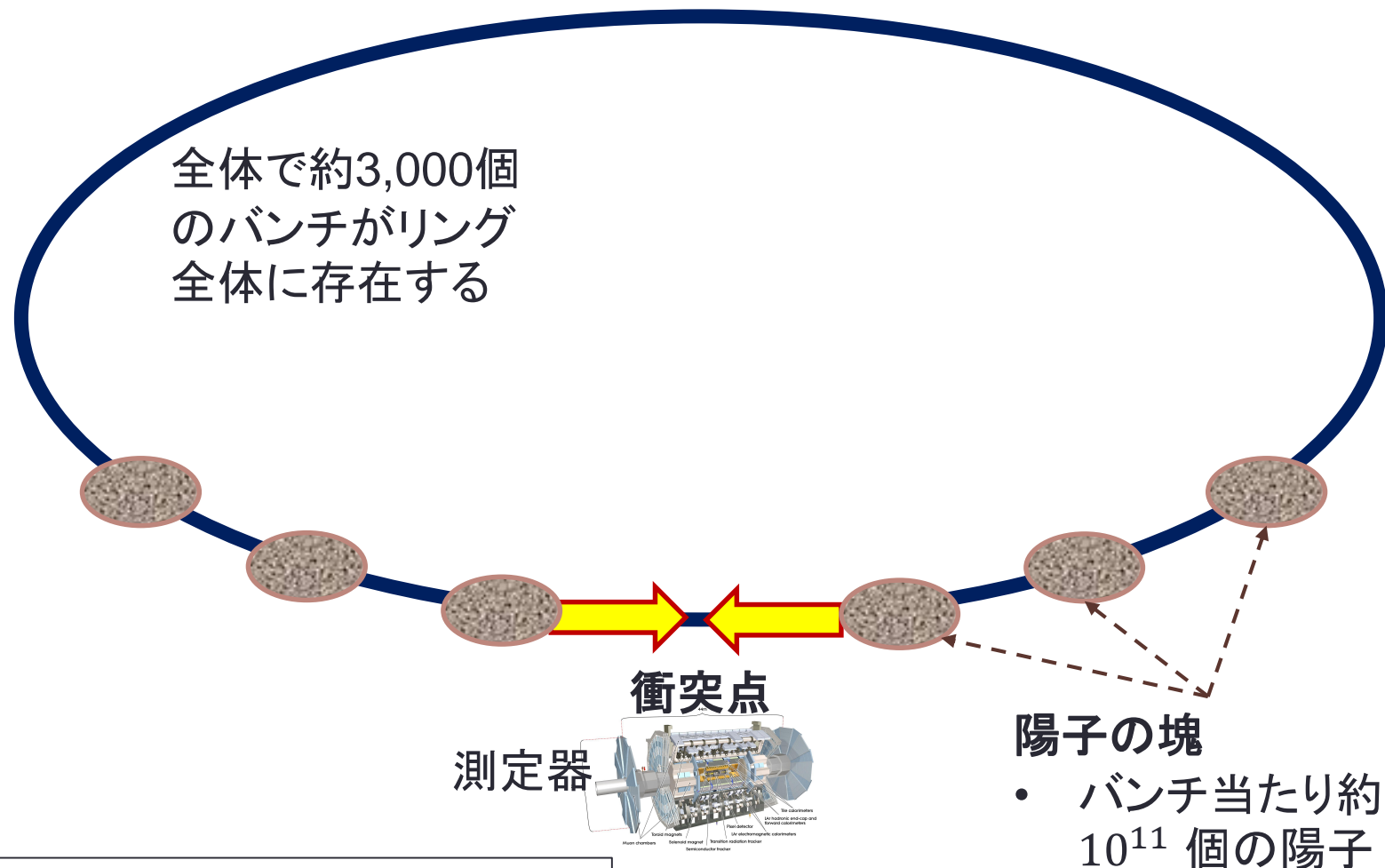
Jet algorithm



Jet algorithm

- 多数のハドロンのうち、「束になっている」ものをまとめる
 - 粒子間の角度的な近さを表す量を導入する
- Cone algorithm
 - 衝突点を頂点とする半径一定の円錐で粒子のエネルギーの総和が最も大きいものを探す
 - 問題点:
 - 円錐が重なった場合の扱い
 - Infrared safetyを満たさない
- Iterative recombination method
 - 全ての粒子の組み合わせの中から、角度の小さいものを順番にまとめていく
 - Infrared safetyを満たす
 - 計算時間がかかる

Colliderで使う座標系 (例:LHC)



- 25 ns毎にバンチペアが衝突
- 一度に数10個の陽子対が衝突する

Colliderで使う座標系 (例:LHC)

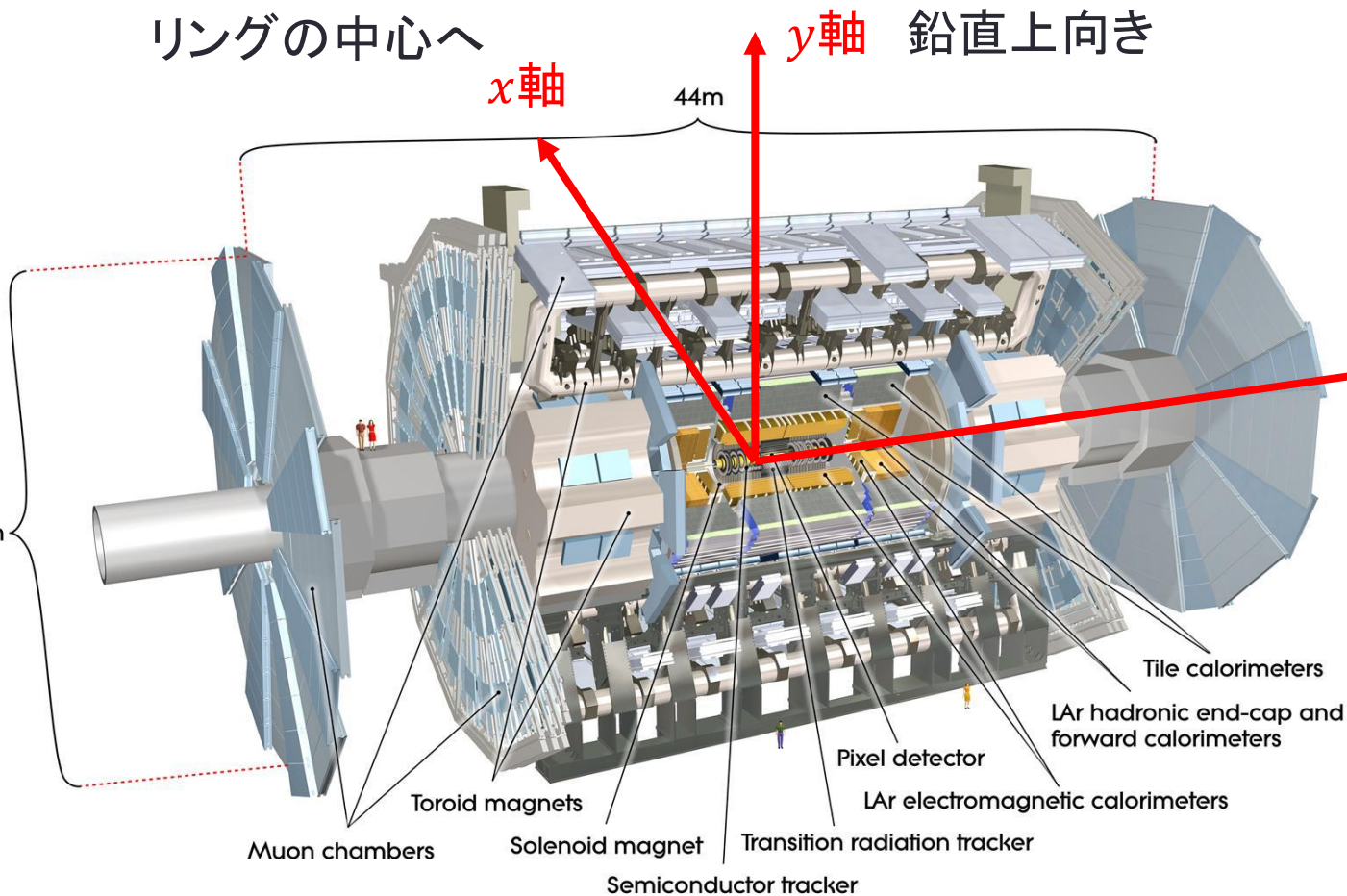
リングの中心へ x 軸 y 軸 鉛直上向き

44m

ビーム軸

z 軸

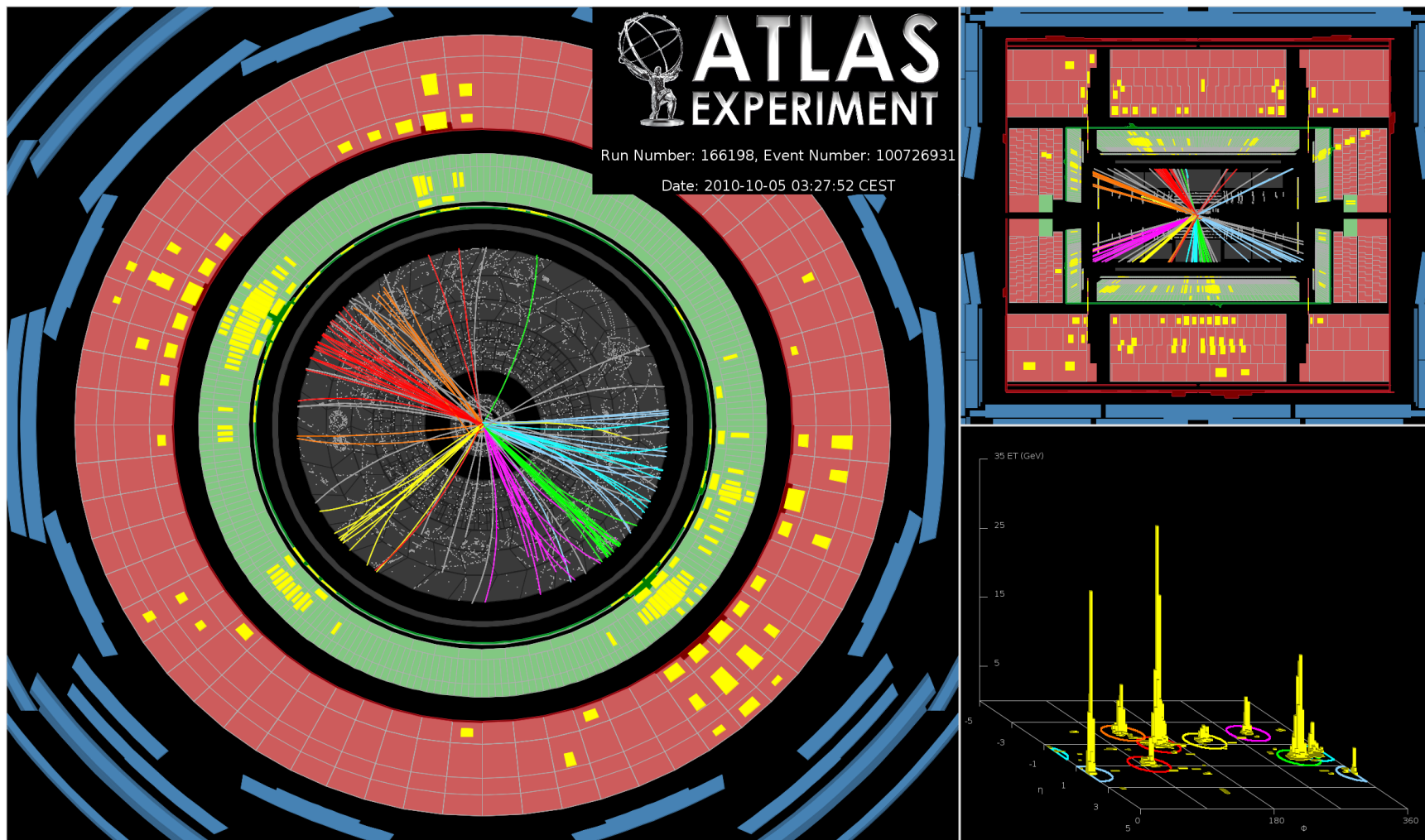
25m



擬ラピディティ
Pseudo-rapidity

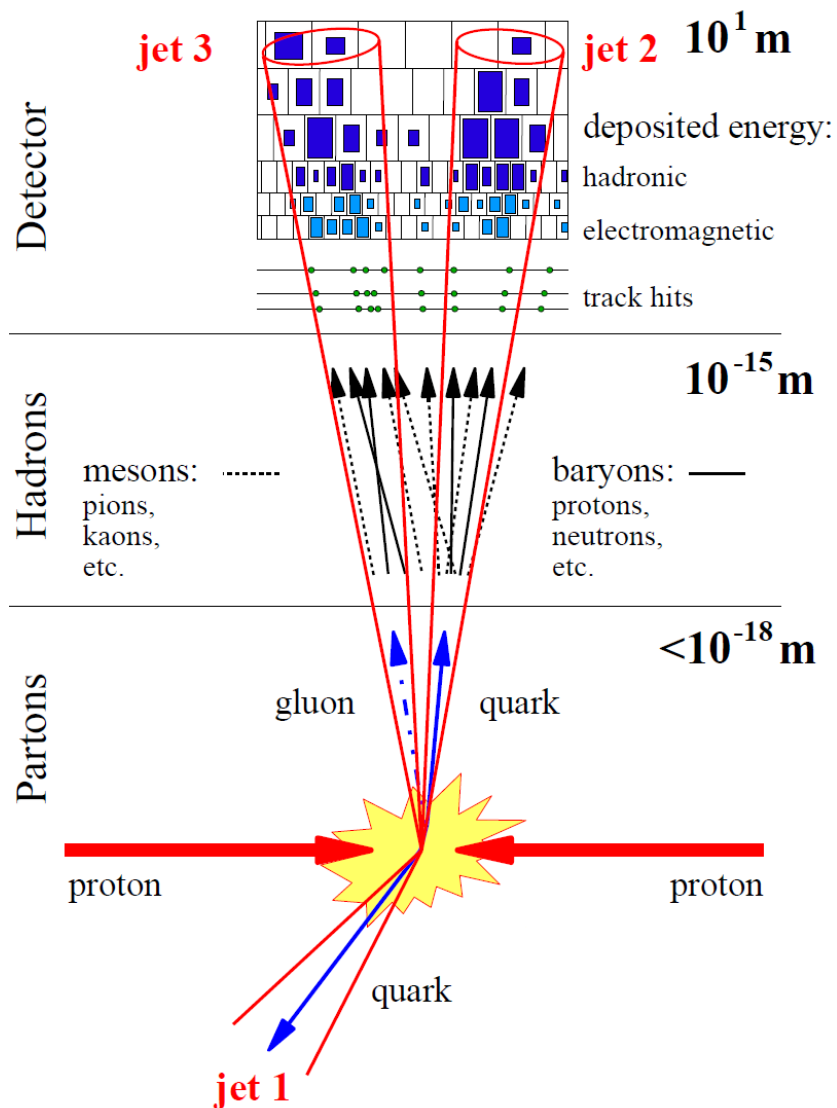
$$\eta = -\log \tan \frac{\theta}{2}$$

Event display



Barrelを展開して η , ϕ 空間に表したもの

ハドロン衝突事象の再構成



多数のハドロンが検出器に入射して
信号を生成

検出器の情報から粒子を再構
成する

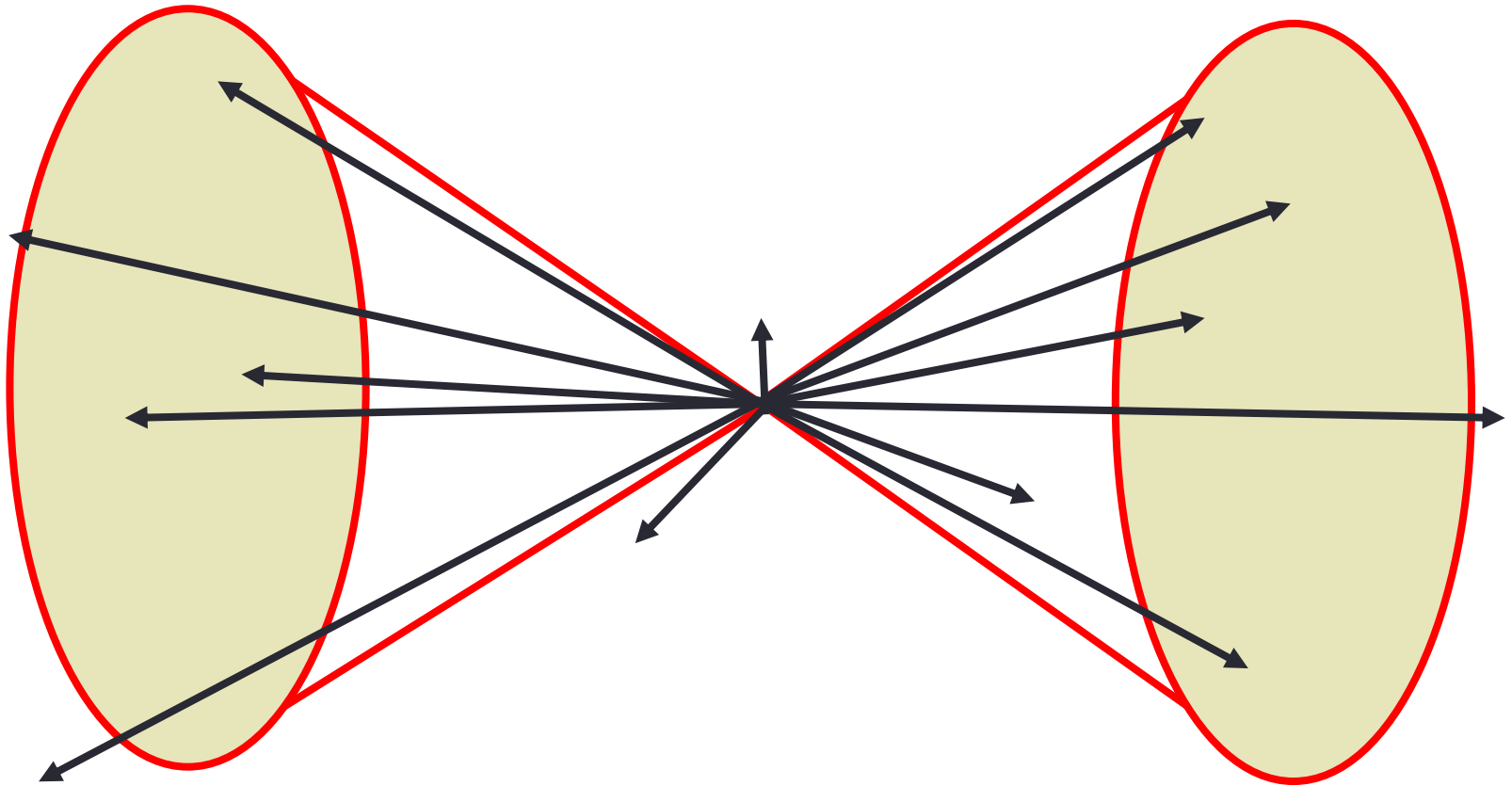
クォークやグルーオンからカラー中性
状態であるハドロンを形成

ハドロン化の過程は現象論的
なモデルを使用

クォークやグルーオン間の散乱

- QCDに基づいて摂動計算
ができるのは、このレベル
- しかし、この状態は直接観
測不能

Cone algorithm

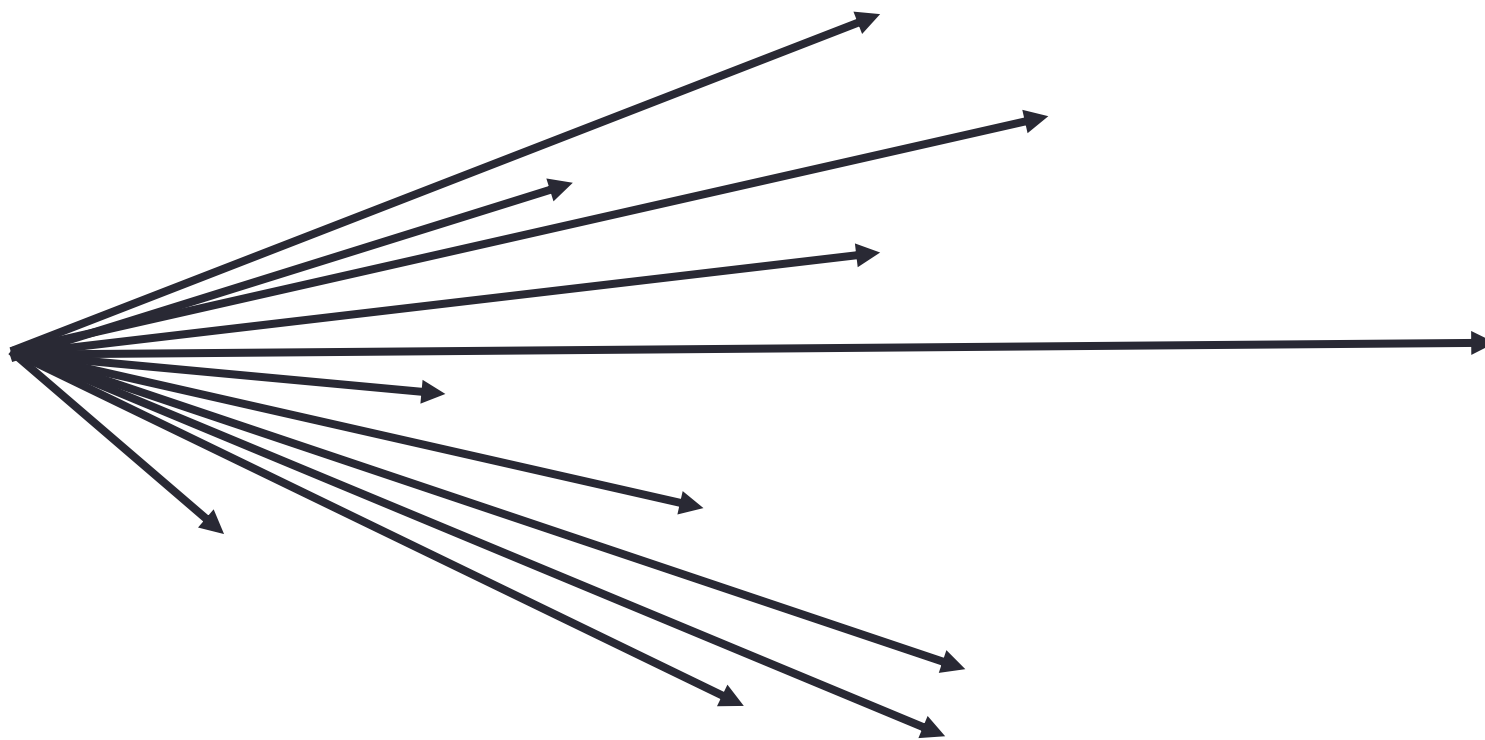


$$\Delta R = \sqrt{\Delta\eta^2 + \Delta\phi^2}$$

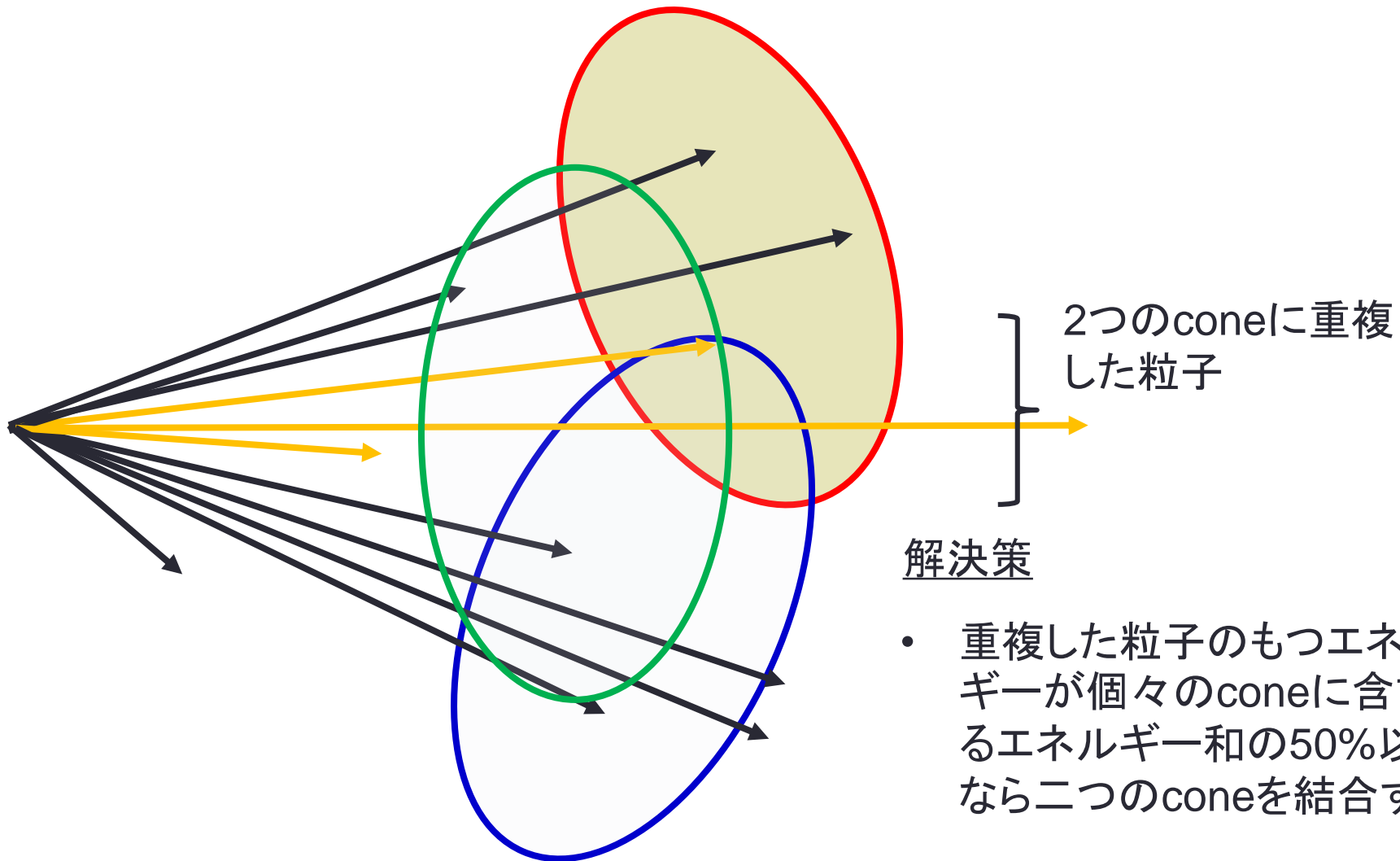
Coneの結合と分離

Merging and splitting

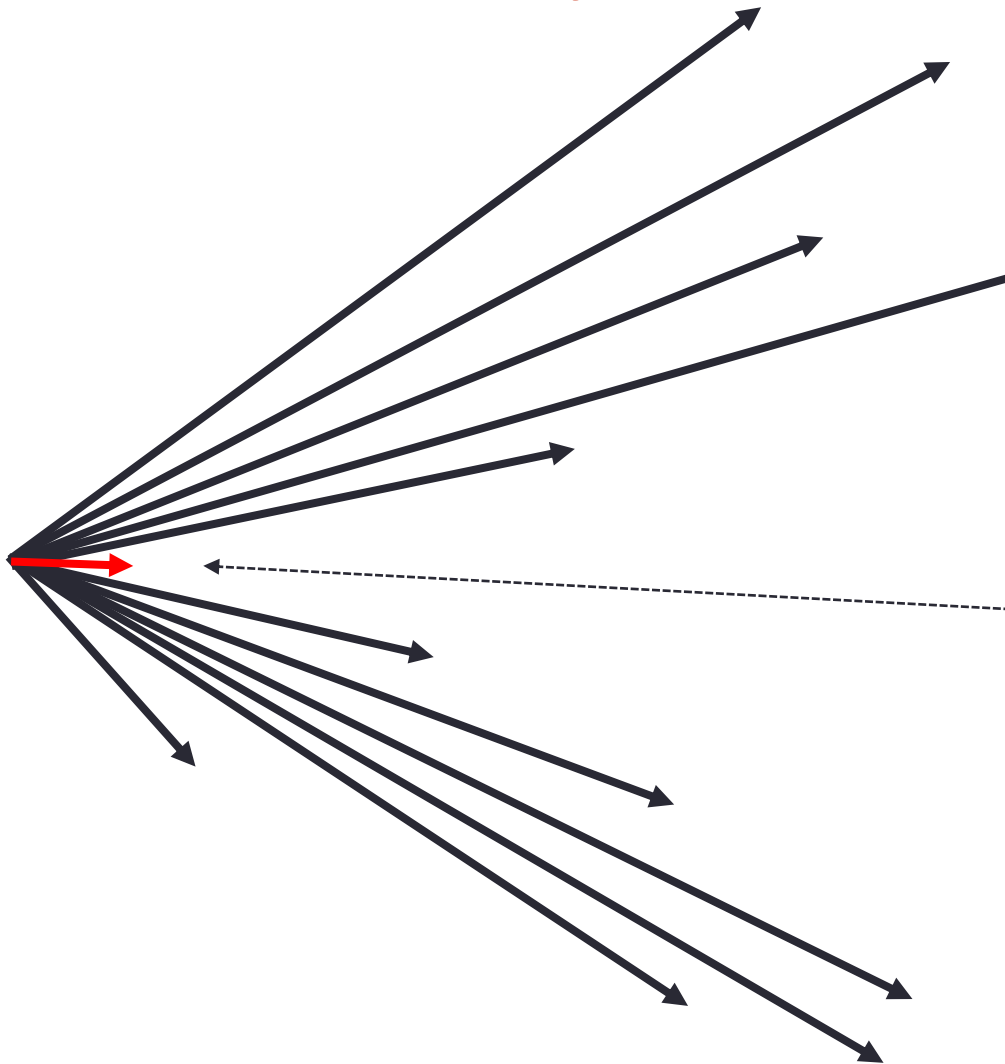
このような場合どうするか



Merging and splitting



Infrared safety



- 2つのconeとして再構成される可能性が高い
- 但し、エネルギーが非常に小さい粒子があれば、それを種として使うため、一つのconeになることがある
- アルゴリズムが不安定化する
- このような状況に対して安定なアルゴリズムが望ましい
- 元のパートンとの相関は？

Parton showerの性質上、これは非常に起こり易い

Cone algorithmの実装

- カロリメータの各cellを入力として、それぞれを種として $R = 0.4, 0.7, 1$ 等の大きさのconeを作る
 - Coneの中に含まれる粒子のエネルギーの和を計算する
 - Coneの軸を少しずらしてエネルギーが最大になるところを探す
- 重複したConeについて
 - 重複部分のエネルギーが50%以上なら結合する
 - 50%以下なら2つのconeを残して、重複部分は
 - どちらか一方だけに吸収する
 - 適当な比率で2つのconeに分配する
- アルゴリズムがConeを探し始めるために使用する「種」に依存する
 - この辺を改善するために、midpoint cone algorithm, SIS Cone等がある

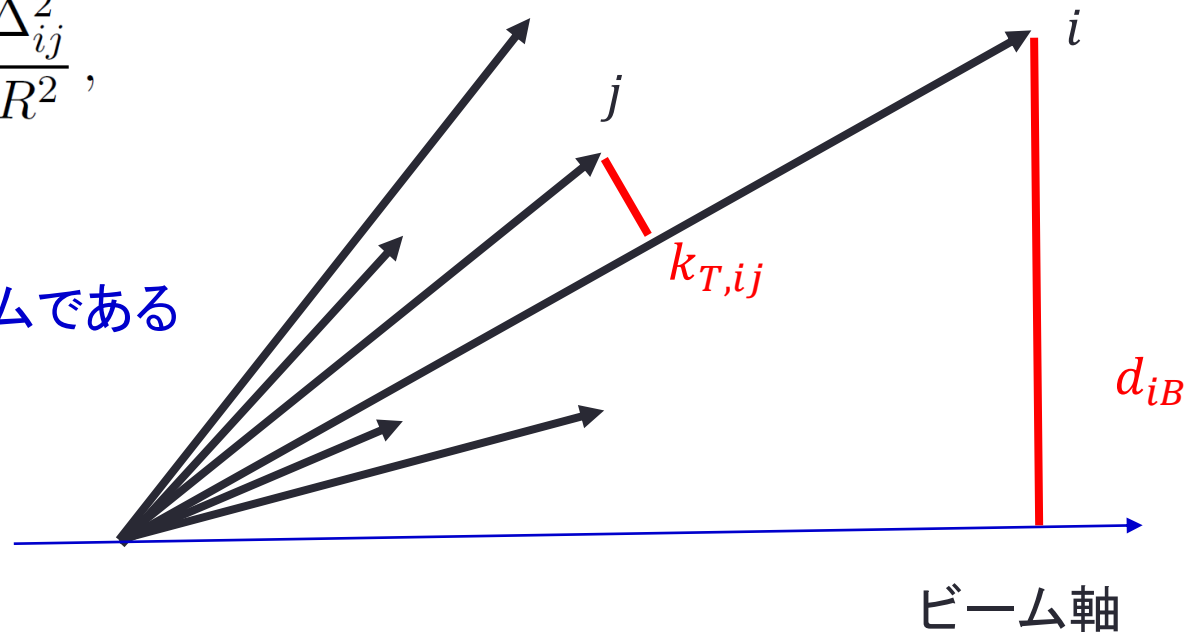
Iterative recombination method

k_T algorithm

$$d_{ij} = \min(k_{ti}^{2p}, k_{tj}^{2p}) \frac{\Delta_{ij}^2}{R^2},$$

$$d_{iB} = k_{ti}^{2p},$$

Infrared safeなアルゴリズムである



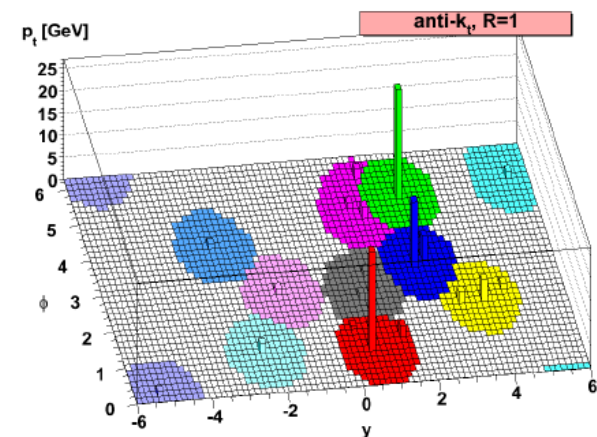
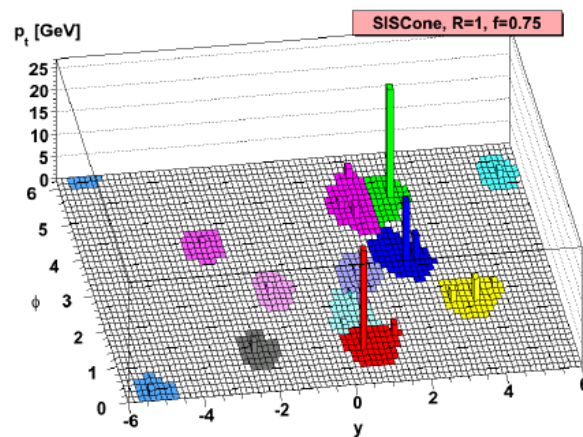
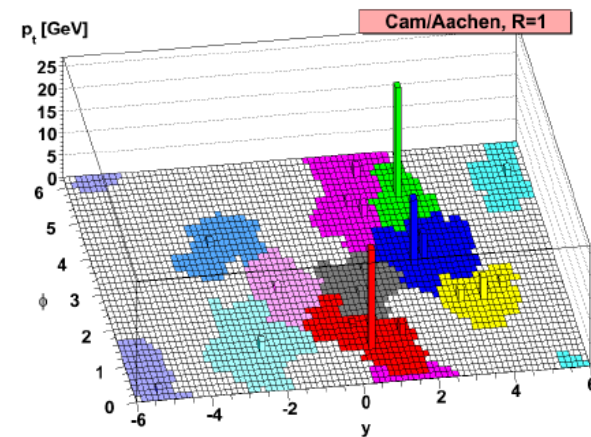
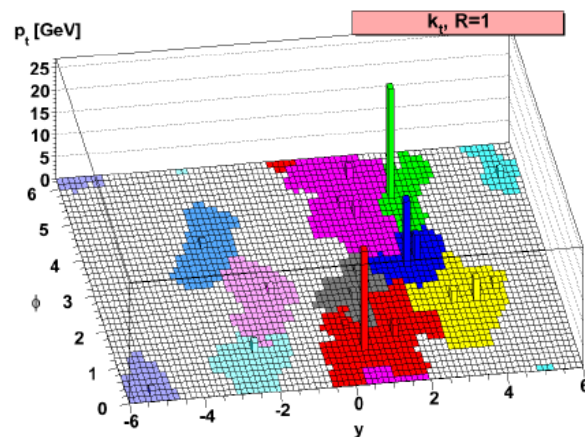
- 全ての粒子の組み合わせに対して d_{iB}, d_{ij} を計算して最小のものを求める
 - d_{ij} が最小なら、粒子 i と粒子 j をまとめる
 - d_{iB} が最小なら、粒子 i をビームにまとめる
- 最小のものが、ある値以上になったところで止める

anti- k_T algorithm

$$d_{ij} = \min(k_{Ti}^{-2}, k_{Tj}^{-2}) \frac{(\Delta R)_{ij}^2}{R^2},$$

$$d_{iB} = k_{Ti}^{-2},$$

$$(\Delta R)_{ij}^2 = (y_i - y_j)^2 + (\phi_i - \phi_j)^2,$$



Jet shapeの測定

Jet shape variables

$$\rho(r) = \frac{1}{\Delta r} \frac{1}{N^{\text{jet}}} \sum_{\text{jets}} \frac{p_T(r - \Delta r/2, r + \Delta r/2)}{p_T(0, R)},$$

$$\Delta r/2 \leq r \leq R - \Delta r/2,$$

$$\Psi(r) = \frac{1}{N^{\text{jet}}} \sum_{\text{jets}} \frac{p_T(0, r)}{p_T(0, R)}, \quad 0 \leq r \leq R,$$

